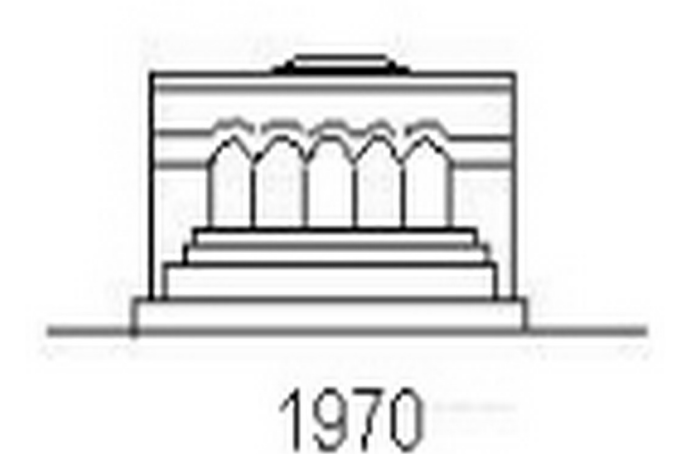
ՄԵՒԱՆԻԿԱ

МЕХАНИКА

MECHANICS



XXIII, № 6, 1970

Механика

А. А. БАБАОЯН, В С ТОНОЯН

ОБ ОДНОЙ ЗАДАЧЕ ДЛЯ ПОЛОГО КОНЕЧНОГО ЦИЛИНДРА

Исследованию осесимметричной задачи для сплошного и нолого круглого цилиндра консчной длины посвящено много работ, о которых подробно изложено в [1-2]. Во всех этих работах на боковых поверхностих заданы напряжения и, кроме [1-2], все задачи решены приближенно.

В настоящей статье дается точное решение осесимметричной задачи теории упругости для полого круглого цилиндра конечной длины,
когда на боконой понерхности известны компоненты нектора перемещения, а на ториах заданы компоненты напряжения. Задача решается
методом Фурье. Решение представляется в виде рядов Фурье и ФурьеДини. Определение коэффициентов интегрирования сводится к решению бесконечных систем линейных алгебранческих уравнений. Доказывается, что эти системы пполне регулярны, а снободные члены ограничены.

Рассмотрим осесимметричную задачу для полого круглого изотропного цилиндра длиной I и радиусами R и когда на торцах цилиндра заданы напряжения, а на цилиндрических поверхностях известны перемещения. Будем пользоваться цилиндрической системой координат. Известно [3], что решение задачи осесимметричной деформации тела вращения сводится к определению одной бигармонической функции $\Phi(r, z)$, которая в рассматриваемой задаче удовлетворяет следующим граничным условиям:

$$z_{s}(r, 0) = f_{s}(r), \quad 2Gu(s_{s}|z) = f_{s}(z)$$

$$z_{s}(r, l) = f_{s}(r), \quad 2Gu(R, z) = f_{s}(z)$$

$$2Gw(s, z) = f_{s}(z), \quad z_{s}(r, 0) = z_{s}(r, l) = 0$$
(1)

Решив бигармонические уравнения методом разделения переменных, аля круглого полого цилиндра функцию $\Phi(r,z)$ получим в виде

$$\Phi(r, z) = \Phi_0(r, z) + \sum_{k=1}^{\infty} R_k(r) \sin l_k z + \sum_{k=1}^{\infty} Z_k(z) |W_0(k, r)|$$
 (2)
$$(s \le r - R, 0 \le z - l)$$

гле $W_t(x)$ — функции Вебера

$$W_{\epsilon}(\beta_k r) = \int_{\epsilon} (\beta_k r) Y_0(\beta_k R) - Y_{\epsilon}(\beta_k R) \int_{0} (\beta_k R)$$
(3)

 $f_{k}(x)$ и $Y_{k}(x)$ функции Бесселя от дейстнительного аргумента, соответственно, первого и второго родоп,

$$\bar{x}_k = \frac{k\pi}{l}$$

а 🏂 — кории уравнения

$$W_{0}(\beta_{k} s) = 0$$

$$\Phi_{0}(r, z) = z (Ar^{2} + Bz^{2} + Cz + D \ln r)$$

$$Z_{k}(z) = A_{k} \sinh_{rk} z + B_{k} \cosh_{k} z + C_{k} \beta_{k} z \sinh_{rk}^{2} z + D_{k} \gamma_{k} z \cosh_{rk} z$$

$$R_{k}(r) = E_{k} P_{0}(\iota_{k} r) + F_{k} \Phi_{0}(\iota_{k} r) + G_{k} \iota_{k} r P_{1}(\iota_{k} r) + H_{k} \iota_{k} r Q_{1}(\iota_{k} r)$$

$$P_{0}(\iota_{k} r) = I_{0}(\iota_{k} r) K_{0}(\iota_{k} R) + I_{0}(\iota_{k} R) K_{0}(\iota_{k} r)$$

$$Q_{0}(\iota_{k} r) = I_{0}(\iota_{k} r) K_{0}(\iota_{k} s) + I_{0}(\iota_{k} s) K_{0}(\iota_{k} r)$$

$$P_{1}(\iota_{k} r) = I_{1}(\iota_{k} r) K_{1}(\iota_{k} s) - K_{1}(\iota_{k} r) I_{1}(\iota_{k} s)$$

$$Q_{1}(\iota_{k} r) = I_{1}(\iota_{k} R) K_{1}(\iota_{k} r) - I_{1}(\iota_{k} r) K_{1}(\iota_{k} R)$$

 $I_{i}(x)$, $K_{i}(x)$ — функции Бесселя от мнимого аргумента, соответственно, перного и второго родов.

Используя обычные формулы для напряжений и перемещений, выраженных через искомую функцию $\Phi(r, z)$ [3], будем иметь

$$(r, z) = 4(2 - v)A + 6(1 - v)B + \frac{1}{2} \sum_{k=1}^{\infty} \beta^{3} \left[(1 - 2v)D_{k} - A_{k} \right] \cosh^{2}_{k} z + \frac{1}{2} \left[(1 - 2v)C_{k} - B_{k} \right] \sinh^{3}_{k} z - C_{k}\beta_{k} z \cosh^{3}_{k} z - D_{k}\beta_{k} = h + \frac{1}{2} \left[W_{0}(\beta_{k} r) - C_{k}\beta_{k} z \cosh^{3}_{k} z - D_{k}\beta_{k} = h + \frac{1}{2} \left[W_{0}(\beta_{k} r) - H_{k}Q_{k}(r_{k} r) \right] \right] \cos^{2}_{k} z + \frac{1}{2} \left[(r, z) - \sum_{k=1}^{\infty} \beta^{3}_{k} \left[(A_{k} - 2vD_{k}) \sinh^{3}_{k} z + [B_{k} - 2vC_{k}] \cosh^{3}_{k} z \right] \right] + \frac{1}{2} \left[(r, z) - \sum_{k=1}^{\infty} \beta^{3}_{k} z \sinh^{3}_{k} z - D_{k}\beta_{k} z \cosh^{3}_{k} z \right] W_{1}(\beta_{k} r) + \frac{1}{2} \left[(R_{k}(r_{k} r) - 2(1 - v) \left[(G_{k}P_{2}(r_{k} r) - H_{k}Q_{2}(r_{k} r) \right] \right] \sin^{2}_{k} z + \frac{1}{2} \left[(A_{k} + D_{k}) \cosh^{3}_{k} z - (B_{k} - C_{k}) \sinh^{3}_{k} z - C_{k}\beta_{k} z \cosh^{3}_{k} z - D_{k}\beta_{k} z \sinh^{3}_{k} z \right] - \frac{1}{2} \left[(R_{k} - C_{k}) \sinh^{3}_{k} z - C_{k}\beta_{k} z \cosh^{3}_{k} z - D_{k}\beta_{k} z \sinh^{3}_{k} z \right] - \frac{1}{2} \left[(R_{k} - C_{k}) \sinh^{3}_{k} z - C_{k}\beta_{k} z \cosh^{3}_{k} z - D_{k}\beta_{k} z \sinh^{3}_{k} z \right] - \frac{1}{2} \left[(R_{k} - C_{k}) \sinh^{3}_{k} z - C_{k}\beta_{k} z \cosh^{3}_{k} z - D_{k}\beta_{k} z \sinh^{3}_{k} z \right] - \frac{1}{2} \left[(R_{k} - C_{k}) \sinh^{3}_{k} z - C_{k}\beta_{k} z \cosh^{3}_{k} z - D_{k}\beta_{k} z \sinh^{3}_{k} z \right] - \frac{1}{2} \left[(R_{k} - C_{k}) \sinh^{3}_{k} z - C_{k}\beta_{k} z \cosh^{3}_{k} z - D_{k}\beta_{k} z \sinh^{3}_{k} z \right] - \frac{1}{2} \left[(R_{k} - C_{k}) \sinh^{3}_{k} z - C_{k}\beta_{k} z \cosh^{3}_{k} z - D_{k}\beta_{k} z \sinh^{3}_{k} z \right] - \frac{1}{2} \left[(R_{k} - C_{k}) \sinh^{3}_{k} z - C_{k}\beta_{k} z \cosh^{3}_{k} z - D_{k}\beta_{k} z \sinh^{3}_{k} z \right] - \frac{1}{2} \left[(R_{k} - C_{k}) \sinh^{3}_{k} z - C_{k}\beta_{k} z \cosh^{3}_{k} z - D_{k}\beta_{k} z \sinh^{3}_{k} z \right] - \frac{1}{2} \left[(R_{k} - C_{k}) \sinh^{3}_{k} z - C_{k}\beta_{k} z \cosh^{3}_{k} z - D_{k}\beta_{k} z \sinh^{3}_{k} z \right] - \frac{1}{2} \left[(R_{k} - C_{k}) \sinh^{3}_{k} z - C_{k}\beta_{k} z \cosh^{3}_{k} z - D_{k}\beta_{k} z \sinh^{3}_{k} z \right] - \frac{1}{2} \left[(R_{k} - C_{k}) \cosh^{3}_{k} z - C_{k}\beta_{k} z \cosh^{3}_{k} z \right] - \frac{1}{2} \left[(R_{k} - C_{k}) \cosh^{3}_{k} z - C_{k}\beta_{k} z \cosh^{3}_{k} z \right] - \frac{1}{2} \left[(R_{k} - C_{k}) \cosh^{3}_{k} z - C_{k}\beta_{k} z \right] + \frac{1}{2} \left[(R_{k} - C_{k}) \cosh^{3}_{k} z - C_{k}\beta_{k} z \right] + \frac{1}{2} \left[(R_{k} -$$

(10)

$$-\sum_{k=1}^{\infty} i_{k}^{z} K_{k}(i_{k}r) \cos i_{k} z$$

$$2Gw(r, z) = 2(1-2v)C + [8(1-v)A + 6(1-2v)B]z +$$

$$+\sum_{k=1}^{\infty} \{[2(1-2v)D_{k} - A_{k}] + \sum_{k=1}^{\infty} [2(1-2v)C_{k} - B_{k}] \cosh i_{k} z$$

$$-C_{k}i_{k}^{z} \cosh i_{k} z - D_{k}i_{k} z \cosh^{2}_{k} z\} W_{0}(i_{k}^{z}r) +$$

$$+\sum_{k=1}^{\infty} [R_{k}(i_{k}r) + 4(1-v)[G_{k}P_{k}(i_{k}r) - H_{k}Q_{n}(i_{k}r)]\} \sin i_{k} z$$
(6)

где

$$P_{a}(\iota_{k} r) = I_{0}(\iota_{k} r) K_{1}(\iota_{k} s) - K_{1}(\iota_{k} r) I_{1}(\iota_{k} s)$$

$$Q_{s}(\iota_{k} r) = I_{0}(\iota_{k} r) K_{1}(\iota_{k} R) - K_{0}(\iota_{k} r) I_{1}(\iota_{k} R)$$
(7)

В граничных условиях (1) допускаем, что функции $\{f_t\}$ можно представить в виде рядон Фурье и Фурье-Дини [4]

$$f_{1}(r) = \sum_{k=1}^{\infty} a_{k} W_{0}(\beta_{k} r), \quad f_{2}(r) = \sum_{k=1}^{\infty} a_{k}^{\prime} W_{0}(\beta_{k} r)$$

$$f_{3}(z) = \sum_{k=0}^{\infty} a_{k} \cos i_{k} z, \quad f_{4}(z) = \sum_{k=0}^{\infty} b^{\prime} \cos i_{k} z$$

$$f_{5}(z) = \sum_{k=1}^{\infty} c_{k} \sin i_{k} z, \quad f_{0}(z) = \sum_{k=0}^{\infty} c_{k} \sin i_{k} z$$
(8)

Кроме того, предполагаем, что функции f_3 , f_4 и их первые производные непрерывны в указанных интервалах.

Удовлетвория условиям (1) и имея в виду (8), для определения постоянных интегрирования, входящих в ныражение (5), получаем следующие соотношения:

$$C = 0, B = -\frac{4(1-v)}{3(1-2v)}A$$

$$2AR + \frac{D}{R} - b_0' + \frac{2}{l} \sum_{k=l}^{n} \beta_k W_1(2k) D_1 + C_k (\cosh \beta_k l - 1) | = 0 (9)$$

$$2As + \frac{D}{s} + b_0 - \frac{2v}{l} \sum_{k=l}^{n} \beta_k W_1(2ks) [D_k \sinh l + C_k (\cosh \beta_k l - 1)] = 0$$

$$a_{1k}E_k = \frac{c_1}{4\pi} + \frac{411}{448} - G_k \quad [a_{1k}a_{2k} - 4(1-a)a_{1k}]H_k$$

 $B_k = -2iC_k$, $A_k = -3klC_k - D_k\left(2i - 3klcth3kl\right)$

$$\begin{split} \delta_{1k}F_{k} &= \frac{c_{k}}{i\frac{\gamma}{k}} - \left[\delta_{2k}t_{k}R - 4\left(1-\epsilon\right)\delta_{2k}\right]G_{k} + \frac{4\left(1-\epsilon\right)}{i\frac{\gamma}{k}R}H_{k} \right] (10) \\ b_{p}K_{p}'(t_{p}R) + b_{p}' &= \sum_{k=2}^{\infty} \frac{4\beta_{k}^{3}\left(-1\right)^{p}W_{1}\left(\beta_{k}R\right)\left[\left(1-\epsilon\right)\kappa_{p}^{2} - \epsilon_{2k}^{3}\right]}{\left[\left(\beta_{k}^{3}+1\right)^{2}\right]} \times \\ & \left[D_{k}\sinh^{2}_{k}k\right] - C_{k}\left[\cosh^{2}_{k}k\right] - \left(-1\right)^{p}\right] + \\ k_{k}(t_{p}s) - \sum_{k=2}^{\infty} \frac{4\beta_{k}^{3}\left(-1\right)^{p}W_{1}\left(\beta_{k}s\right)\left[\left(1-\epsilon\right)\kappa_{p}^{2} - \epsilon_{k}\right]}{I\left(\beta_{k}^{2}+i^{2}\right)^{2}} \\ D_{k}\sinh^{2}_{k}k\right] + C_{k}\left[\cosh^{2}_{k}k\right] - \left(-1\right)^{p}\right] + \\ \beta_{p}^{3}N_{p}\left\{\left[D_{p}\left(1-2\epsilon\right) - A_{p}\right]\left(\cosh^{2}_{p}k\right] + 1\right\} + \left[C_{p}\left(1-2\epsilon\right) - B_{p}\sinh^{2}_{p}k\right] - \\ - \frac{8\epsilon_{p}A}{1-2\epsilon}\frac{RW_{1}\left(\beta_{p}R\right) - sW_{1}\left(\beta_{p}s\right)}{i^{2}_{k}\left(i^{2}+\beta_{p}^{2}\right)} \\ + 2\beta_{p}\sum_{k=2,1} \left[\frac{c_{k}^{2}RW_{1}\left(\beta_{p}R\right) - c_{k}sW_{1}\left(\beta_{p}s\right)}{i^{2}_{k}\left(i^{2}+\beta_{p}^{2}\right)} - \frac{2\left[\left(1-\epsilon\right)^{2}\right]}{i^{2}_{k}\left(1-\epsilon\right)^{2}} + \left[W_{1}\left(\beta_{p}s\right)\left(G_{k}-H_{k}\right)^{2} + \frac{1}{2\epsilon_{p}}\left(H_{k}-G_{k}i_{k}R\delta_{3k}\right)\right]\right\} = 0 \\ \frac{\beta_{p}^{3}}{i^{3}}N_{p}\left\{\left[D_{p}\left(1-2\epsilon\right) - A_{p}\right]\left(\cosh^{3}_{p}k-1\right) + \left[C_{p}\left(1-2\epsilon\right) - B_{p}\right]\sinh^{2}_{p}k\right\} - \frac{2\left[\left(1-\epsilon\right)^{2}\right]}{i^{2}_{k}\left(i^{2}+\beta_{p}^{2}\right)^{2}} + \frac{2\left[\left(1-\epsilon\right)^{2}\right]^{2}}{i^{2}_{k}\left(i^{2}+\beta_{p}^{2}\right)^{2}} + \frac{2\left[\left(1-\epsilon\right)^{2}\right]^{2}}{i^{2}_{k}\left(i^{2}$$

где

$$\delta_{1k} = K_0 (i_k s) I_0 (i_k R) - I_0 (i_k s) K_0 (i_k R)$$

$$= K_1 (i_k s) I_1 (i_k R) - I_1 (i_k s) K_1 (i_k R)$$

$$\delta_{1k} = K_1 (i_k s) I_0 (i_k R) + I_1 (i_k s) K_0 (i_k R)$$

$$\delta_{1k} = K_1 (i_k R) I_0 (i_k s) + I_1 (i_k R) K_0 (i_k s)$$
(12)

$$W_{\hat{1}}(\beta_{p}r) dr = \int_{s}^{R} r W_{\hat{0}}(\beta_{p}r) dr = \frac{R^{2}}{2} W_{\hat{1}}(\beta_{p}R) - \frac{s^{2}}{2} W_{\hat{1}}(\beta_{p}s) \quad (13)$$

При получения этих соотвошений были использованы разложения Фурке функций $\sinh z$, $\cosh z$, $\cosh z$, $\sinh z$, $\sinh z$ по функциям 1; $\cos \frac{p}{r}$ и Фурке-Дини [4] функций $P_x(\iota_k r)$, $Q_i(\iota_k r)$ (i=0,1,2) по функциям $P_x(\iota_k r)$, $Q_i(\iota_k r)$, $Q_i(\iota_k r)$, Q

Из соотношений (9) и (10) коэффициенты A, B, D, A_{ℓ} , B_k , E_k , F_k выражаются через коэффициенты C_k , D_k , G_k , H_k . Для определения постоянных C_k , D_k , G_k и H_ℓ из соотношений (11) получаем следующую бесконечную систему четырех линейных алгебраических уравнений:

$$d_{11}U_{p} + d_{12}V_{p} = \sum_{k=1}^{\infty} a_{kp} Z_{kp} + \gamma_{p}^{(1)}$$

$$d_{21}U_{p} - d_{11}V_{p} = \sum_{k=1}^{\infty} b_{kp} Z_{kp} + \gamma_{p}^{(2)}$$

$$d_{21}V_{p} = \sum_{k=1,3}^{\infty} c_{kp} L_{kp} + \gamma_{p}^{(4)}$$

$$d_{31}Y_{p} = -\sum_{k=1}^{\infty} c_{kp} L_{kp} + \gamma_{p}^{(4)}$$

$$(14)$$

где введены следующие обозначения:

$$||D_{k} \sinh M + C_{k} (\cosh \beta_{k} l - 1)|| = \frac{W_{1}(\beta_{k} R)}{N_{k}} X_{k}$$

$$||D_{k} \sinh \beta_{k} l - C_{k} (\cosh \beta_{k} l - 1)|| = \frac{\pi W_{1}(\beta_{k} R)}{N_{k}} Y_{k}$$
(15)

$$\frac{\lambda^{2} R}{2} \left[(1 - \lambda_{k} | \overline{Rs} \phi_{0k}) H_{k} + (\overline{R/s} + R\delta_{0k}) G_{k} \right] = V_{k}$$

$$\frac{\lambda^{2} R}{2} \left[(1 - \lambda_{k} | \overline{Rs} \phi_{0k}) H_{k} + (\overline{R/s} + R\delta_{0k}) G_{k} \right] = U_{k}$$
(16)

$$Z_{kp} = Y_k + \frac{1 - (-1)^p}{2} (X_k - Y_k)$$

$$L_{kp} = \frac{1}{2} [V_k + U_k - (-1)^p (1 - M_p) (V_k - U_k)]$$
(17)

$$M_E = (-1)^p \mid R/s \mid \beta_s R W_s (\beta_s s) - 1$$

$$a_{sp} = \frac{4(-1)^s z_{lp} R}{l} \frac{W_1^s(\xi_1 R) [(1-v) \lambda_p - v_{pk}^2]}{N_k(\xi_k^2 + k_p^2)^2} (1 - R \frac{W_1(\xi_k R)}{W_1(\xi_k R)} + 1)$$

$$b_{ll} = \frac{4(-1)^p z_{lp} R}{l} \frac{W_1^s(\xi_k R) [(1-v) - \frac{s_{lp}^2}{2k}]}{N_k(\xi_k^2 + k_p^2)^2} (1 - s_{l} R \frac{W_1(\xi_k S)}{W_1(\xi_k R)} - 1)$$

$$c_{kp} = \frac{8}{R^2} \frac{(1-v)t_k - v_{lp}^2}{(3p + t_k^2)^2} (18)$$

$$R_{ll}^{s_{lp}} d_{ll} = 4(1 - v)(\lambda_{lp} - k_{lp}) + \frac{t_{lp} R_{l}[\lambda_{lp} \lambda_{lp} - \lambda_{lp} \lambda_{lp}]}{(2q_{lp} \lambda_{lp} - k_{lp} \lambda_{lp})} - \frac{t_{lp} R_{l}^{s_{lp}}[\lambda_{lp} \lambda_{lp} - \lambda_{lp} \lambda_{lp}]}{(2q_{lp} \lambda_{lp} - k_{lp} \lambda_{lp})(k - s_{lp} \lambda_{lp})} - \frac{t_{lp} R_{lp}[\lambda_{lp} \lambda_{lp} - \lambda_{lp} \lambda_{lp}]}{(2q_{lp} \lambda_{lp} - k_{lp} \lambda_{lp})(k - s_{lp} \lambda_{lp})} - \frac{t_{lp} R_{lp}[\lambda_{lp} \lambda_{lp} - \lambda_{lp} \lambda_{lp}]}{(2q_{lp} \lambda_{lp} - k_{lp} \lambda_{lp})(k - s_{lp} \lambda_{lp})} - \frac{t_{lp} R_{lp}[\lambda_{lp} \lambda_{lp} - \lambda_{lp} \lambda_{lp}]}{(2q_{lp} \lambda_{lp} \lambda_{lp} - k_{lp} \lambda_{lp})(k - s_{lp} \lambda_{lp})} - \frac{t_{lp} R_{lp}[\lambda_{lp} \lambda_{lp} - \lambda_{lp} \lambda_{lp}]}{(k - s_{lp} \lambda_{lp} \lambda_{lp} - k_{lp} \lambda_{lp})(k - s_{lp} \lambda_{lp})} - \frac{t_{lp} R_{lp}[\lambda_{lp} \lambda_{lp} - \lambda_{lp} \lambda_{lp}]}{(k - s_{lp} \lambda_{lp} \lambda_{lp} - k_{lp} \lambda_{lp})(k - s_{lp} \lambda_{lp})} - \frac{t_{lp} R_{lp}[\lambda_{lp} \lambda_{lp} - \lambda_{lp} \lambda_{lp}]}{(k - s_{lp} \lambda_{lp} \lambda_{lp} - k_{lp} \lambda_{lp})(k - s_{lp} \lambda_{lp})} - \frac{t_{lp} R_{lp}[\lambda_{lp} \lambda_{lp} - \lambda_{lp} \lambda_{lp}]}{(k - s_{lp} \lambda_{lp} - k_{lp} \lambda_{lp})(k - s_{lp} \lambda_{lp})} - \frac{t_{lp} R_{lp}[\lambda_{lp} \lambda_{lp} - k_{lp} \lambda_{lp}]}{(k - s_{lp} \lambda_{lp} - k_{lp} \lambda_{lp})(k - s_{lp} \lambda_{lp})} - \frac{t_{lp} R_{lp}[\lambda_{lp} \lambda_{lp} - k_{lp} \lambda_{lp}]}{(k - s_{lp} \lambda_{lp} - k_{lp} \lambda_{lp})} - \frac{t_{lp} R_{lp}[\lambda_{lp} \lambda_{lp} - k_{lp} \lambda_{lp}]}{(k - s_{lp} \lambda_{lp} - k_{lp} \lambda_{lp})} - \frac{t_{lp} R_{lp}[\lambda_{lp} \lambda_{lp} - k_{lp} \lambda_{lp}]}{(k - s_{lp} \lambda_{lp} - k_{lp} \lambda_{lp})} - \frac{t_{lp} R_{lp}[\lambda_{lp} \lambda_{lp} - k_{lp} \lambda_{lp}]}{(k - s_{lp} \lambda_{lp} - k_{lp} \lambda_{lp})} - \frac{t_{lp} R_{lp}[\lambda_{lp} \lambda_{lp} - k_{lp} \lambda_{lp}]}{(k - s_{lp} \lambda_{lp} - k_{lp} \lambda_{lp} \lambda_{lp})} - \frac{t_{lp} R_{lp}[\lambda_{lp} \lambda_{lp} - k_{lp} \lambda_{lp}]}{(k - s_{lp} \lambda_{lp} \lambda_{lp} - k_{lp} \lambda_{lp} \lambda_{lp})} - \frac{t_{lp} R_{lp}[\lambda_{lp} \lambda_{lp} - k_{lp} \lambda_{lp}]}$$

Злесь $\mathbf{z} = \mathbf{noctor}$ янная, подлежащей определению. Если p четное, то $Z_{kp} = Y_k$, $L_{kp} = V_k + M_n (V_k - \tilde{U}_k)$, а если p нечетное, то $Z_{kp} = X_k$, $L_{lp} = U_k + M_p (U_k - V_k)$, где M_p стремится к нулю. Докажем, что система (14) квази-пполне регулярна. Денствительно,

$$\sum_{k=1}^{\infty} |\dot{a}_{kp}| < \frac{4\pi R}{l} \left[\frac{1}{2R} \frac{a_{1p}}{a_{1p}} - \frac{(1-2\nu)h_{p}}{2R} \left(\frac{a_{1p}}{\delta_{1p}} \right) \right]$$

$$= (1-\nu) \frac{1+|R|s}{h_{p}R^{2}\ln R|s} + |R|s| + |R|s| \frac{(1-2\nu)a_{1p}h_{p} + 2(1-\nu)\delta_{1p}}{\ln R/s} = \frac{4\nu}{2l} \left[1 - \frac{1-|R|s}{l} \left(1 + 2 + \frac{1-|s|}{\ln R/s} \right) - \frac{3-4\nu}{8\nu^{2}R^{2}} \right]$$

$$= \sum_{k=1}^{\infty} |b_{kp}| < \frac{4\pi R}{l} \left[\frac{1}{2R} - \frac{(1-2\nu)h_{p}}{2R} \left(\frac{\delta_{1p}}{2R} \right) - (1-\nu) \frac{1-|R|s}{h_{p}R^{2}\ln R/s} \right]$$

$$= \frac{2(1-|R|s)}{\ln R/s} - \frac{3-4\nu}{8\nu_{p}R^{2}} + \dots$$

где штрих при 🗽 означает производную по 🦾

Решая первые дна уравнения системы (14) относительно \mathcal{L}'_p и \mathcal{V}_{p_1} получим новые коэффициенты \mathcal{R}_{kp} и Q_{kp} при неизнествых Z_{kp}

$$K_{kp} = \frac{a_{kp}d_{11}}{+d_{12}d_{21}}, \qquad -\frac{b_{kp}d_{11}}{d^{\frac{1}{2}}}. \tag{22}$$

Пользуясь оценками (21) и асимптотическими разложениями функций $\phi_{Ip}\left(k_{p}\right)$ (i=1,-2,-3,-4) [5], получим следующие оценки:

$$\sum_{k=1}^{\infty} |R_{kp}| = \frac{\alpha R}{I(3-4\nu)} \left[1 - \frac{1-\nu}{\nu_p R} \left(1 - 2 \frac{1-R}{\ln R/s} - 2 \frac{(3-4\nu)s}{(3-4\nu)s} \right) \right]$$

$$= \sum_{k=1}^{\infty} |Q_{kp}| < \frac{\alpha R}{3-4\nu} \left[1 - \frac{1-\nu}{\nu_p R} \left(1 - 2 \frac{1-1}{\ln R/s} - 2 \frac{R}{(3-4\nu)s} - 1 \right) \right]$$
(23)

Анвлогично для последних двух уравнений системы (14) имеем

$$\frac{1}{d_{13}} \sum_{k=1}^{\infty} c_{kp} < \frac{l}{R^{2}} \frac{1 - \frac{3p_{p}l}{\sinh\beta_{p}l}}{1 + \frac{3p_{p}l}{\sinh\beta_{p}l}}$$
(24)

Если я выбрать из равенства

$$\frac{R}{I(3-4v)} = \frac{I}{2R}, \quad 2 = \frac{I}{R} + \frac{3-4v}{3-4v} \tag{25}$$

то из оценок (23) и (24) будет видно, что суммы коэффициентов при неизпестных стремится к пределу (3 42). то есть система (14) впали-вполне регулярив. Свободные члены (20) системы (14) ограничены. Решия систему (14), получаем выражения коэффициентов V_{LL} , V_{LL} , Далее по формулам (9), (10), (15) и (16) искомые коэффициенты интегрирования пыражаются черел X_{LL} , V_{LL} по формулам

$$A = \frac{3(1-2v)}{4(1-v)} B = \frac{b_u s}{2(R-v)} \frac{b_0 R}{I(R-s)} \frac{v_2}{I(R-s)} \sum_{i=1}^{\infty} \frac{|S_i|R}{|S_i|N_k} Y_k$$

$$D = \frac{b_0 R}{I(R-s)} \frac{A_{i2}Rs}{I(R+s)} \sum_{k=1}^{\infty} \frac{|S_i|R}{|S_i|N_k} Y_k$$

$$A_k = \frac{vW_1(3kR)}{2N_k S_k} \left[X + \frac{3kl}{2} \left(2 - \frac{3kl}{sh_i^2kl} \right) - Y_k + \frac{2kl}{2} \left(2 - \frac{3kl}{sh_i^2kl} \right) \right]$$

$$C_k = \frac{|S_i|R}{2N_k S_k} \left[Y_k + \frac{3kl}{2} - X + \frac{3kl}{2} \right]$$

$$G_k = \frac{|S_i|R}{2N_k S_k} \left[Y_k + \frac{3kl}{2} - X + \frac{3kl}{2} \right]$$

$$G_k = \frac{(1-k_k)RS_k}{2N_k S_k} \left[Y_k + \frac{3kl}{2} - X + \frac{3kl}{2} \right]$$

$$H_1 = \frac{(1-k_k)RS_k}{k_k R} + \frac{1}{R} \left[\frac{1}{R} \frac{1}{R} + \frac{1}{R} \frac{$$

 $\frac{4(1-v)[(1+k_{0}+k_{0}+R\delta_{2k})V_{0}-(1+Rs-k_{0}+R\delta_{2k})U_{k}]}{i_{0}^{2}R^{2}(1+R/s-k_{0}^{2}+R)Rs\delta_{2k}R(k_{0})}$

Следовательно, напряжения и перемещения по известным формулам будут определены в любов точке полого цилиндра.

Нистигут математики и мехапики АН Арминской ССР

Претупила 1 VI 1970

u, z. puetoano, q. n. sovoano

ՎԵՐՋԱՎՈՐ, ՄՆԱՄԵՋ ԳԼԱՆԵ ՄԻ ԽՆԳՐԻ ՄԱՍԵՆ

Ut dendent d

ON A PROBLEM OF A FINITE HOLLOW CYLINDER

A. H. BABLOYAN, V. S. TONOYAN

Summary

In the present paper an axisymmetric problem for a finite length circular hollow cylinder is considered where the vector components of displacement on the lateral surface and the stress components on the butts are prescribed. The solution is represented as a sum of the Fourier and Fourier-Diny series. The determination of the integration coefficients is reduced to the solving of an infinite system of algebraic equations. This system is proved to be quasi-quite regular.

АИТЕРАТУРА

- 1. Абрамян Б. Л., Библоян А. А. Об одной задаче осесимметричной деформации полого цилиидра конечной длины. Изв. АН Арм. ССР, Мехапика, т. XV, № 2, 1962.
- 3. Боблови А. А., Тоноян В. С. Изгиб двухслойной плиты ослениметричной нагрузкой. Изв. АН Арм. ССР, Механика, т. XVI, № 1, 1963.
- 3 Тимошенко С. П. Теория упругости. ОНТИ, М., 1937
- 4. Ватсон Г. Н Теория бесселеных функций. ИА, ч. 1, М., 1949.
- Грей Э., Метьюя Г Функции Бесселя и их приложения к физике и маханике. Гостехнодат, М., 1949.

Б. И ПОПОВИЧ, Д. В. ГРИЛИЦКИЙ

ТЕРМОУПРУГОЕ СОСТОЯНИЕ КУСОЧНО-ОДНОРОДНОЙ ИЗОТРОПНОЙ ПЛАСТИНКИ С РАЗРЕЗАМИ ВДОЛЬ ОКРУЖНОСТИ

В статье 11 исследовано термонапряженное состояние однородной изотропной пластинки с термоизолированной дугообразной трещиной при заданном однородном тепловом потоке на бесконечности. В публикации [2] рассмотрена задача определения термоупругого равновесия изотропной плоскости, содержащей инородное круговое включение, когда на части границы включения имеется теплоизолированная трещина.

В данной работе определяется установиншееся термоупругое равнопесие неограниченной изотролной пластинки с впаянным инородным круговым включением при наличии на линии раздела материалов конечного числа разрезов, на берегах которых заданы смещанные условия на температурные и условия первого или второго рода на механические характеристики, на бесконечности — одпородный тепловой поток.

1. Пусть имеется неограниченная изотропная пластинка, в круговое отверстие которой шпаяно без предварительной деформации круговое ядро (шайба) из другого изотропного материала. Линия спая ослаблена конечным числом разрезов $a = 1, 2, \cdots, p$). Совокупность разрезов обозначим через L'', дуг спая через L'' (L + L'' = L). Радиус отверстия и соответственно, шайбы примем ранным единице.

Теплофизические и механические характеристики, относящиеся к шайбе, будем снабжать индексом 1, к пластинке индексом 2.

На бескопечности пластички задан однородный тепловой поток q.; на берегах разрезов со стороны шайбы изнестна неличина

$$\frac{\partial T}{\partial r} = \varphi_1(t) \qquad (t - L^n) \tag{1.1}$$

пропорциональная нормальной составляющей потока тепла, а со стороны иластинки — температура

$$T_2 = \varphi_a(t) - (t - L') \tag{1.2}$$

или же, наоборот, на берегах разрезов со стороны шайбы задана температура

$$T_z = f_1(t) \quad (t \in L'')$$
 (1.1')

а со стороны пластинки величина

$$\frac{\partial T_2}{\partial r} = f_2(t) \qquad (t \in L'') \tag{1.2'}$$

Далее, предположим, что на бесконечности пластинки плиряжения отсутствуют, а берега разрезов либо свободны от внешних напряжений

$$s_{r}^{(1)}(t) - s_{r_{r}}^{(1)}(t) - s_{r_{r}}^{(1)}(t) = s_{r_{r}}^{(2)}(t) = 0 \quad (t \in L'')$$
 (1.3)

либо на них заданы смещения, которые без уменьшения общности задачи будем считать постоянными (п общем, разными для разных разрезов)

 $u_1(t) = u_2(t) = v_1(t) = 0$ (1.4)

На L выполняются условия сная и идеального теплового контакта, то есть

$$s_r^{(1)}(t) + i s_{r\psi}^{(1)}(t) = s_r^{(2)}(t) + i s_{r\psi}^{(2)}(t) = s_r(t) \quad i s_r(t) \\
u_1(t) + i v_1(t) = u_2(t) \quad i v_2(t) = u(t) + i v_1(t)$$
(1.5)

$$T_1 = T_2 = T(t), \quad \lambda_1 \frac{\partial T_1}{\partial r} = \lambda_1 \frac{\partial T_2}{\partial r} \qquad (t \quad L)$$
 (1.6)

где /. и / коэффициенты теплопроводности.

Основания кусочно-однородной пластинки предполагаются тепло-

Требуется определить температурное поле и распределение температурных напряжений и пластинке и в шайбе.

2. Известно [3], что стационарное температурное поле и изотронной пластнике и случае теплоизоляции се оснований определяется с помощью вналитической функции комплексной персменной

$$T = F(z) + \overline{F(z)} \quad (z = x + iy = re^{iz}) \tag{2.1}$$

Из (2.1) на окружности единичного радиуса L находим соотношения

$$tF'(t) - t\overline{F'(t)} = t\frac{\partial T}{\partial t} \qquad (t \in L)$$
 (2.2)

$$tF'(t) = \overline{t} F'(\overline{t}) = \frac{aT}{ac} \qquad (t \in L)$$
 (2.3)

3. Определим температурное поле и рассматриваемой кусочно-однородной пластинке для случая граничных условий (1.1) и (1.2).

Исходя из условия (1.1) и соотношения (2.3), находим

$$F_1(z) = \frac{1}{2\pi i} \int_{L'} \frac{\gamma(t)dt}{t-z} + \frac{1}{2\pi i} \int_{L'} \frac{z^{(t)}dt}{t-z}$$
(3.1)

При этом должно яыполняться услоние

$$= (t) dt + \int z^{(1)}(t) dt = 0$$
 (3.2)

В формулах (3.1) и (3.2) обозначено

$$_{\tau}(t) = \frac{1}{t} \frac{\partial T}{\partial t} \qquad \varphi^{(1)}(t) = \frac{1}{t} \varphi_1(t)$$
 (3.3)

 $F_1(z)= функция распределення температуры в шайбе, голоморфиай внутри <math>L.$

Используя (1.6) и (2.2), получаем

$$\frac{1}{2i} \int_{L} \frac{z(t)dt}{t-z} = T'(z) - \frac{1}{2i} \int_{L}^{t} \frac{\varphi^{(1)}(t)dt}{t-z} \qquad (z - L)$$
 (3.4)

Учитыная условия (1.2), (1.6) и формулу (2.2), находим

$$F_{-}(z) = -\frac{1}{z} \int_{-z}^{z} \frac{T'(t) dt}{t-z} \frac{1}{2\pi i} \int_{-z}^{z} \frac{z(t)dt}{t-z} + \alpha_{2}^{(1)} + \frac{\alpha^{(1)}}{z}$$
(3.5)

где (z) функция распределения температуры в пластинке: параметр $a^{(1)}$ определяется помощью известного геплоного потока на бесконечности

$$\frac{1}{2}$$
 (3.6)

Здесь a_0 угол, образованный направлением теплового потока на бескопечности с осью Ox, $q_0 = 1$

Используя теперь условие (1.6), и формулу (2.3), будем иметь

$$\frac{1}{\pi t} \int_{L^{2}} \frac{T_{-}(t) dt}{t - \pi} = \frac{\lambda_{1}}{\lambda_{2}} \mp (s) = -\frac{1}{\pi t} \int_{L^{2}} \frac{\pi_{2}^{2}(t) dt}{t - \pi} + 2\left(\alpha_{1}^{(1)} + \frac{\overline{\alpha_{2}^{(1)}}}{\pi^{2}}\right) \quad (z \in L^{2})$$
(3.7)

Соотношения (3.4) и (3.7) и совокупности составляют систему двух сингулярных интегральных уравнений для определения неизвестных функций T (2) и γ (3), которые входят в формулы (3.1) и (3.5).

Решение системы (3.4) и (3.7) имеет вид [4]

$$T^*(z) + v_k \varphi(z) = W_k(z) - W_k(z) \quad (k = 1, 2; z \in L)$$
 (3.8)

rac

$$W_k(z) = \frac{1}{2\pi i X_k(z)} \int_{-1}^{\infty} \frac{-1(t) X_k(t) dt}{t-z} = \frac{P_{n-1}^{(k)}(z)}{X_k(z)} \quad (k-1, 2) \quad (3.9)$$

Под функциями

$$X_k(z) = \prod_{j=1}^{n} (z - a_j)^{\frac{1}{2} - \epsilon_k} (z - b_j)^{\frac{1}{2} + \epsilon_k}$$
 (k = 1, 2) (3.10)

подразуменаются ветни, для которых

$$\lim_{|z| \to 2} [z^{-i} X_k(z)] = 1$$

$$\lim_{|z| \to 2} \frac{\ln q}{2\pi i}, \quad g_k = \frac{1}{1 - \nu_k} (k - 1, 2), \quad \nu_{12} = \pm i$$
(3.11)

$$a_{k}(z) = \frac{1}{1 - v_{k}} \left[2 \left(a_{z}^{(1)} + \frac{\overline{a_{z}^{(1)}}}{z^{2}} \right) - \frac{1}{z_{t}^{2}} \int_{L^{+}}^{z_{t}^{2}} \frac{\varphi_{z}^{1}(t) - v_{k} \varphi^{++}(t)}{t - z} dt \right]$$

$$(k - 1, 2z \ z \in L^{2})$$
(3.12)

 $P^{(k)}(z) = D_0^{(k)} + D_1^{(k)} z + \cdots + D_{n-1}^{(k)} = 1$ (k 1, 2) полиномы.

Для определения 2p постоянных $p=0,1,\dots,p-1;\ k=1,2$) служат условия однозначности температуры на каждом из разрезон

$$\int_{0}^{t} [T_{s}(t) - T_{s}(t)] dt = 0 \quad (k = 1, 2, \dots, p)$$
(3.13)

и соотношения

$$T'(t)dt = \{a_{k+1}\} + \varphi_2(b_k) \quad (k = 1, 2, \dots, p; a_{p-1} = a_1) \quad (3.14)$$

Таким образом, производные от функций распределения температуры в шайбе и пластинке найдены. Путем интегрирования находятся функции $F_1(z)$ и $F_2(z)$.

В случае одного разреза $a_1b_1(a_1=e^{-t},b,-e^{th})$ при условии, что $T_0=\cos t$, а $\sigma_1(t)=0$, функции $F_1(z)$ и $F_1(z)$ определяются формулами

$$F_1(z) = \frac{i}{2} \sqrt{\frac{\lambda_2}{\lambda_1}} \sum_{k=1}^{2} (-1)^k \left[a_2^{(1)} - \frac{\overline{a_2^{(1)}}}{X_k(0) z} \right] X_k(z) + \frac{T_0}{2}$$

$$F_2(z) = \frac{1}{2} \sum_{k=1}^{2} \left[a_2^{(1)} - \frac{\overline{a_2^{(1)}}}{X_k(0) z} \right] X_k(z) + \frac{T_0}{2}$$
(3.15)

FAC

$$X_{k}(z) = (z - e^{ik})^{\frac{1}{2} - k} (z - e^{-ik})^{\frac{1}{2} - k} \qquad (k - 1, 2)$$

$$\vdots_{1} = \frac{1}{2^{n}} \operatorname{arctg} \frac{2 + \overline{\iota_{1} \iota_{2}}}{\iota_{2} - \iota_{1}}, \quad \iota_{2}$$
(3.16)

При выполнения граничных условий на температурные характеристики (1.1') и (1.2') задача решается аналогично. В случае одного разреза и при условии, что $f_1(t) = T_0 = \cosh t$, $f_2(t) = 0$ ($t \in L$) функ-

ции распределения температуры определяются формулами (3.15), в которых $a_{\perp}^{(1)}$ следует заменить на $a_{\perp}^{(1)}$, а функции $X_1(z)$ и $X_2(z)$ (3.16) переставлены между собою местами.

4. Определим напряженное состояние в пусочно-однородной изотронной пластинке. Граничные условия для периой и второй основных задач можно представить и ниде одной формулы

$$t = \exp\left[\frac{1}{t} \exp\left[\frac{t}{t}\right] + \exp\left[\frac$$

r_Ae

$$(k, n = 1, 2)$$

$$f_k^{(1)}(t) = t[z_k^{(1)}(t) = i\frac{-ik!}{r}(t)], \quad f_k^{(1)}(t) = 2i\left[\frac{\partial u_k(t)}{\partial z} = i\frac{\partial v_k(t)}{\partial z}\right]$$
 (4.2)

 $\Phi_L^{(k)}$ и $\Psi_L^{(k)}$ — функции напряжений, — функции распределения температуры: $2\frac{A}{L}$ — коэффициенты липейного теплоного расширения: E_k , ψ , — упругие постоянные; $z_k^{(k)}$, — компоненты напряжений u_k , v_k — лекартовы компоненты нектора смещения. Индекс принимающий элесь значения 1 и 2. указывает на принадлежность данной величины к шайбе или пластинке.

Легко видеть, что при n=1 соотношение (4.1) представляет собой граничное условие для первой основной задачи термоупругости, при $n=2,\dots, 2$ ля второй [5].

Мысленно отделим шайбу от пластинки и рассмотрим раздельно термоупругое равновесие выйбы и пластинки с круговым отверстием, учитывая при этом, что, согласно условиям (1.31, (1.4) и (1.5). $f_1^{(n)}(z) = f_2^{(n)}(z) = f_2^{(n)}(z)$, когда $z \in L'$ и $f_1^{(n)}(z) = f_2^{(n)}(z) = 0$, когда $z \in L''$ (n-1,2).

Исходя из граничного условия (4.1), определим функции напряжений для шайбы $\mathbb{R}^{|\Psi|}$ и для пластинки $\Phi_2^{(q)}$, $\mathbb{R}_2^{(q)}$ с помощью неизвестной пока функции

$$\Phi_{1}^{(n)}(z) = \frac{1}{i^{(n)}} \left\{ \frac{1}{2\pi i z} - \int_{L}^{\infty} \frac{f^{(n)}(z)}{t - z} - \left[F_{1}(z) - F_{1}(0) \right] - \sigma^{(n)} \right\}$$

$$\Phi_{1}^{(n)}(z) = \frac{1}{z} \Phi_{1}^{(n)}(z) - \frac{1}{z^{(n)}} \Phi_{2}^{(n)}(z) - \frac{\sigma^{(n)}(z)}{z^{(n)}} - \frac{\sigma^{(n)}(z)}{z^{(n)}}$$

$$\Phi_{2}^{(n)}(z) = \frac{1}{\delta_{2}^{(n)}} \left\{ \frac{-z_{2}^{(n)}}{2\pi i z} \int \frac{1}{t-z} K_{2} \right\} = \frac{1}{z} \left\{ \frac{\int_{t}^{(n)}(t)}{t-z} - \frac{\int_{t}^{(n)}(t)}{t-z} \right\}$$

В формулах (4.3) и (4.4) пведены обозначения

$$a^{(n)} = \phi^{(n)}(0), \quad b_2^{(n)} = [\delta_2^{(n)} - 1] a_2^{(1)}, \quad a_2^{(1)} = \frac{\delta_2^{(n)}}{2} = \frac{a_2^{(n)}}{2}$$
 (4.5)

а .. — коэффициенты разложения в ряд при больших | г | функции

$$F_{z}(z) = a^{(1)}z + a_{2}^{(0)} + \frac{a_{-1}}{z} + \cdots$$
 (4.6)

Ив (4.3) следует раненство

$$\frac{f^{(n)}(t) dt}{t} = \int_{t}^{t} \frac{f^{(n)}(t) dt}{t} = 0 \tag{4.7}$$

Для определения функции $f^{(a)}(z)$ ($z \in L'$) удовлетворим второму условию спая на L (одно условие спая на L мы уже удовлетнорили)

$$\Phi_{1}^{(n)}(z) + \overline{\Phi_{1}^{(n)}(z)} = \frac{1}{-\overline{\Phi_{2}^{(n)}(z)}} \overline{\Phi_{1}^{(n)}(z)}$$

$$= -\frac{1}{2} \overline{\Psi_{1}^{(n)}(z)}$$

$$= -\frac{1}{2} \overline{\Psi_{2}^{(n)}(z)}$$

Здесь $s_k^{(n)}$ и $s_k^{(n)}$ (k, m=1,2) определяются формулами (4.2). В условии (4.8) следует полагать m=2, когда n=1 и m=1, когда n=2.

Легко видеть, что в периом случае, т. е. когда n=1 и m=2, получим решение первой основной задачи термоупругости, во втором—решение второй основной задачи.

Удовлетнорив условию (4.8), нолучим сингулярное интегральное уравнение относительно функции

$$l_{1}^{(n)}f^{(n)}(z) + \frac{l_{2}^{(n)}}{-i} \int_{L}^{\infty} \frac{(t)\,dt}{t-z} = L \cdot F_{2}(z) - L^{(n)}F_{3}(z) - \sum_{k>0} C^{(n)}\,z^{k}$$

$$(z \in L')$$

$$(4.9)$$

2 Ивисстия АН Арминской ССР, Мехацика, № 6

В уравнении (4.9) впедены обозначения

$$M_{1}^{(n)} = \frac{1}{2} \left[M_{1}^{(n)} z^{(n)} - M_{2}^{(n)} z^{(n)} \right], \quad l_{n}^{(n)} = \frac{1}{2} \left[L^{(n)} - L^{(n)} \right], \quad l_{n}^{(n)} = \frac{1}{2} \left[L^{(n)} - L^{(n)} \right], \quad l_{n}^{(n)} = \frac{1}{2} \left[L^{(n)} - L^{(n)} \right], \quad l_{n}^{(n)} = \frac{1}{2} \left[L^{(n)} - L^{(n)} \right], \quad l_{n}^{(n)} = \frac{1}{2} \left[L^{(n)} - L^{(n)} \right], \quad l_{n}^{(n)} = \frac{1}{2} \left[L^{(n)} - L^{(n)} \right], \quad l_{n}^{(n)} = \frac{1}{2} \left[L^{(n)} - L^{(n)} \right], \quad l_{n}^{(n)} = \frac{1}{2} \left[L^{(n)} - L^{(n)} \right], \quad l_{n}^{(n)} = \frac{1}{2} \left[L^{(n)} - L^{(n)} \right], \quad l_{n}^{(n)} = \frac{1}{2} \left[L^{(n)} - L^{(n)} \right], \quad l_{n}^{(n)} = \frac{1}{2} \left[L^{(n)} - L^{(n)} \right], \quad l_{n}^{(n)} = \frac{1}{2} \left[L^{(n)} - L^{(n)} \right], \quad l_{n}^{(n)} = \frac{1}{2} \left[L^{(n)} - L^{(n)} \right], \quad l_{n}^{(n)} = \frac{1}{2} \left[L^{(n)} - L^{(n)} \right], \quad l_{n}^{(n)} = \frac{1}{2} \left[L^{(n)} - L^{(n)} \right], \quad l_{n}^{(n)} = \frac{1}{2} \left[L^{(n)} - L^{(n)} \right], \quad l_{n}^{(n)} = \frac{1}{2} \left[L^{(n)} - L^{(n)} \right], \quad l_{n}^{(n)} = \frac{1}{2} \left[L^{(n)} - L^{(n)} \right], \quad l_{n}^{(n)} = \frac{1}{2} \left[L^{(n)} - L^{(n)} \right], \quad l_{n}^{(n)} = \frac{1}{2} \left[L^{(n)} - L^{(n)} \right], \quad l_{n}^{(n)} = \frac{1}{2} \left[L^{(n)} - L^{(n)} \right], \quad l_{n}^{(n)} = \frac{1}{2} \left[L^{(n)} - L^{(n)} \right], \quad l_{n}^{(n)} = \frac{1}{2} \left[L^{(n)} - L^{(n)} \right], \quad l_{n}^{(n)} = \frac{1}{2} \left[L^{(n)} - L^{(n)} \right], \quad l_{n}^{(n)} = \frac{1}{2} \left[L^{(n)} - L^{(n)} \right], \quad l_{n}^{(n)} = \frac{1}{2} \left[L^{(n)} - L^{(n)} \right], \quad l_{n}^{(n)} = \frac{1}{2} \left[L^{(n)} - L^{(n)} \right], \quad l_{n}^{(n)} = \frac{1}{2} \left[L^{(n)} - L^{(n)} \right], \quad l_{n}^{(n)} = \frac{1}{2} \left[L^{(n)} - L^{(n)} \right], \quad l_{n}^{(n)} = \frac{1}{2} \left[L^{(n)} - L^{(n)} \right], \quad l_{n}^{(n)} = \frac{1}{2} \left[L^{(n)} - L^{(n)} \right], \quad l_{n}^{(n)} = \frac{1}{2} \left[L^{(n)} - L^{(n)} \right], \quad l_{n}^{(n)} = \frac{1}{2} \left[L^{(n)} - L^{(n)} \right], \quad l_{n}^{(n)} = \frac{1}{2} \left[L^{(n)} - L^{(n)} \right], \quad l_{n}^{(n)} = \frac{1}{2} \left[L^{(n)} - L^{(n)} \right], \quad l_{n}^{(n)} = \frac{1}{2} \left[L^{(n)} - L^{(n)} \right], \quad l_{n}^{(n)} = \frac{1}{2} \left[L^{(n)} - L^{(n)} \right], \quad l_{n}^{(n)} = \frac{1}{2} \left[L^{(n)} - L^{(n)} \right], \quad l_{n}^{(n)} = \frac{1}{2} \left[L^{(n)} - L^{(n)} \right], \quad l_{n}^{(n)} = \frac{1}{2} \left[L^{(n)} - L^{(n)} \right], \quad l_{n}^{(n)}$$

Решение уравнения (4.9) определяется формулой

$$f^{(n)}(z) = W^{(n)+}(z) = W^{(n)}(z) \quad (z \in L^*)$$

$$(4.11)$$

гае

$$W^{(n)}(z) = \frac{1}{2\pi i} \int_{-1}^{1} \frac{f^{(n)}(t)dt}{t-z} = \frac{X^{(n)}(z)}{2\pi i \left(l_1^{(n)} + l_2^{(n)}\right)} \int_{1/2}^{1/2} \frac{\omega^{(n)}(t)dt}{X^{(n)}(t)(t-z)} + Q_{p-1}^{(n)}(z) X^{(n)}(z)$$

$$(4.12)$$

Через $a_0^{(n)}(t)$ обозначена правая часть уравнения (4.9); $Q_{n-1}^{(n)}(z)=A_0^{(n)}=A_1^{(n)}|z-\cdots+A_n||z^{p-1}|$ полином; пол функцией

$$\chi^{(n)}(z) = \prod_{j=1}^{n} (z - b_j)^{-\frac{1}{2} + c_n} (z - a_j)$$

$$= \frac{\ln a^{-1}}{2} \qquad (4.13)$$

подразумевается нетвы. для которой $\lim_{\|z\| \to \infty} |z| X^{-1}(z) | = 1.$

В случае первой основной задачи термоупругости ($n=1,\ m=2$) для определения постоянных $A^{(1)}$ ($j=0,\ 1,\cdots,p-1$) служат условия однозначности смещений на каждом из разрезов [3]

$$\int_{0}^{\infty} \frac{1}{\sigma_{i}^{2}} \left[\frac{\partial u_{i}}{\partial z} - i \frac{\partial v_{i}}{\partial z} - \frac{\partial u_{i}}{\partial z} - \frac{\partial u_{i}}{\partial z} - i \frac{\partial u_{i}}{\partial z} - i \frac{\partial v_{i}}{\partial z} - i \frac{\partial u_{i}}{\partial z} \right] dt = 0 \quad (k = 1, 2, \dots, p) \quad (4.14)$$

В случае второй основной задачи термоупругости (n-2, m-1) для определения констант $A, \ (j=0, 1, \cdots, p-1)$ служат соотношения [3]

$$\int_{0}^{a_{k-1}} \frac{1}{t} \left| \frac{\partial u}{\partial \varphi} + i \frac{\partial u}{\partial \varphi} \right| dt = u \left(a_{k+1} \right) + i v \left(a_{k+1} \right) - u \left(b_{k} \right) - i v \left(b_{k} \right)$$

$$\left(k - 1, 2, \dots, a_{n+1} - a_{1} \right)$$

$$(k - 1, 2, \dots, a_{n+1} - a_{1})$$

Постоянная $a^{(n)}$ определяется с помощью первого раненства (4.5). Учитывая (4.7), находим

$$\frac{1}{2\pi i} \int_{t}^{\infty} \frac{\overline{f^{(n)}(t)} dt}{t-z} = -\overline{W^{(n)}} \left(\frac{1}{z}\right) \tag{4.16}$$

Таким образом, формулы (4.3) и (4.4) вместе с (4.12) и (4.16) полностью определяют функции напряжений для шайбы и пластинки-

5. Детальнее рассмотрим кусочно-однородную плоскость, ослабленную одним разрезом $a_1b_1(a_1-e^{-t})$, $b_1=e^{tb}$), берег которого со стороны шайбы теплоизолирован, а со стороны пластинки поддерживается при постоянной температуре T_0 . На бесконечности действует однородный поток тепла \mathbf{q}_0 .

В атом случае функции распределения температуры определены формулами (3.15).

Для функции $W^{(n)}(z)$ имеем выражение

$$W^{(n)}(z) = \sum_{k=1}^{n} E_{k} \left[a^{(1)} z - \frac{a_{k}^{(1)}}{X_{k}(0)} \right] X_{k}(z) + \sum_{i} \left[s_{i}^{(n)} z + \chi_{i}^{(n)} z^{i} X^{(n)}(z) \right]$$
(5.1)

Здесь введены обозначения

$$r_{ij}^{(n)} = \frac{1}{X^{(n)}(0)} \left[a^{-1} \sum_{k=1}^{2} E^{-k} - \frac{1}{2} \right], \qquad (5.2)$$

$$s_{i}^{(n)} = \frac{C_{0}^{(n)}}{2l!^{n_{i}}}, \quad s_{i}^{(n)} = \frac{C_{1}^{(n)}}{2l!^{n_{i}}} + E_{n}^{(n)}, \quad s_{i}^{(n)} = \frac{C_{n}^{(n)}}{2l!^{n_{i}}}, \quad s_{n}^{(n)} = 0$$
 (5.3)

$$E_{1}^{(n)} = \frac{T_{0}[L_{2}^{(n)}K_{1} - L_{1}^{(n)}K_{1}]}{4I_{2}^{(n)}}, \quad E_{1}^{(n)} + \frac{iL_{1}^{(n)}K_{1}}{2(I_{1}^{(n)} + I_{1}^{(n)})(1 - g_{1}g^{(n)})}$$

$$E_{1}^{(n)} = \frac{iL_{1}^{(n)}K_{1} \sqrt{\frac{i_{2}}{\lambda_{1}}} + g_{1}L_{2}^{(n)}K_{2}}{-2(I_{1}^{(n)} + I_{2}^{(n)})(1 - g_{2}g^{(n)})}$$

$$E_{2}^{(n)} = \frac{iL_{1}^{(n)}K_{1} \sqrt{\frac{i_{2}}{\lambda_{1}}} + g_{2}L_{2}^{(n)}K_{2}}{-2(I_{1}^{(n)} + I_{2}^{(n)})(1 - g_{2}g^{(n)})}$$

$$E_{2}^{(n)} = C_{1}^{(n)}[g^{(n)}] - C_{1}^{(n)}[g^{(n)}] + C_{2}^{(n)}, \quad d_{1}^{(n)} = C_{2}^{(n)}[g^{(n)}], \quad d_{1}^{(n)} = C_{2}^{(n)}$$

$$r_{1}^{(a)} = \sum_{k=1}^{2} E_{k}^{(a)} \left[\chi_{1k}^{(a)} \alpha_{2}^{(1)} - \chi_{2k}^{(a)} \frac{\alpha_{2}^{(1)}}{X_{k}(0)} \right] + E_{k}^{(a)} \alpha_{2}^{(a)}$$

$$r_{2}^{(a)} = \sum_{k=1}^{2} E_{k}^{(a)} \left[\chi_{2k}^{(a)} \alpha_{2}^{(1)} - \frac{\overline{\alpha_{2}^{(1)}}}{X_{k}(0)} \right] + E_{k}^{(a)}, \quad r_{3}^{(a)} = \alpha_{2}^{(1)} \sum_{k=1}^{2} E_{k}^{(a)}$$

$$\chi_{1k}^{(a)} = \pi_{-1k} + \pi_{-1}^{(a)} - \pi_{-2k} \pi_{-1}^{(a)}$$
(5.7)

 $\chi_{2k}^{(n)} = \alpha_{-2k} - \alpha_{-2}^{(n)}$ а да, в да, а при тольших разложения в ряд при больших

$$X_{k}(z) = \frac{1}{|z|} = \frac{1}{z} \frac{1}{z^{2}} .$$

$$\frac{1}{X^{(n)}(z)} = \frac{1}{|z|} = \frac{1}{z} - \frac{\alpha^{(n)}}{z} + \frac{\alpha^{(n)}}{z} = \frac{1}{z} .$$
(5.8)

Постоянная а определяется формулой

z функций $X_{i}(z)$ и 1 $X^{(n)}(z)$:

$$a_{\nu}^{(n)} = \frac{\delta_1^{(n)} R_n - \eta_n \overline{K_n}}{[\delta_n^{(n)}]^2 - \tau_{\sigma}^2}$$
(5.9)

(5.10)

где

$$K = \frac{\frac{\varepsilon(1)}{n}}{2k_{n}^{(n)}} \left[[1 - (x_{1}^{(n)})^{-1} - (x_{1}^{(n)})^{-1} + (x_{1}^{($$

Постоянные $z_1^{(n)}$, z_{1k} , вошедние в соотношения (5.10), коэффициенты разложения функций $X^{(n)}(z)$ и $X_k(z)$:

$$X^{(n)}(z) = X^{(n)}(0)[1 + z^{(n)}z - \alpha_2^{(n)}z^2 + \cdots]$$

$$X_k(z) = X_k(0)[1 + \alpha_{1k}z - \alpha_{2k}z - \cdots]$$
(5.11)

Пример 1. Пусть берега разреза свободны от внешних напряжений (л = 1, т = 2), а в отношении температурных характеристик выполняются граничные условия п.5.

В этом случае все величины, пошедшие в формулы этого пункта, подсчитываются при значениях n = 1, m = 2.

Контактные напряжения и на L, а также кольцевые напряжения в шайбе $\sigma_{i}^{(1)}$ и в пластинке и на липии раздела материалов определяются формулами

$$z_{r}(t) = \operatorname{Re} - \{W^{(1)}(t) - W^{(1)}(t)\}$$

$$z_{r}(t) = \operatorname{Jm} - \{W^{(1)}(t) - W^{(1)}(t)\}$$

$$z_{r}(t) = \operatorname{dRe} \left[\frac{1}{t} W^{(1)}(t) + K_{1} \overline{F_{1}(0)} - \overline{\alpha^{(1)}} \right] - z_{r}(t)$$

$$z_{r}(t) = \operatorname{dRe} \left[K_{2} \left(b^{(1)} t + b_{1}^{(1)} + \frac{\alpha}{t} \right) - \frac{1}{t} W^{(1)}(t) - \overline{\alpha^{(1)}} \right] - z_{r}(t)$$

$$z_{r}(t) = \operatorname{dRe} \left[K_{2} \left(b^{(1)} t + b_{1}^{(1)} t + b_{1}^{(1)} - \overline{\alpha^{(1)}} \right) - \overline{\alpha^{(1)}} \right]$$

$$z_{r}(t) = \operatorname{dRe} \left[K_{2} \left(b^{(1)} t + b_{1}^{(1)} + \frac{\alpha}{t} \right) - \frac{1}{t} W^{(1)}(t) - \overline{\alpha^{(1)}} \right]$$

$$z_{r}(t) = \operatorname{dRe} \left[K_{2} \left(b^{(1)} t + b_{1}^{(1)} - \frac{\alpha}{t} \right) - \frac{1}{t} W^{(1)}(t) - \overline{\alpha^{(1)}} \right]$$

$$z_{r}(t) = \operatorname{dRe} \left[K_{2} \left(b^{(1)} t + b_{1}^{(1)} - \frac{\alpha}{t} \right) - \frac{1}{t} W^{(1)}(t) - \overline{\alpha^{(1)}} \right]$$

$$z_{r}(t) = \operatorname{dRe} \left[K_{2} \left(b^{(1)} t + b_{1}^{(1)} - \frac{\alpha}{t} \right) - \frac{1}{t} W^{(1)}(t) - \overline{\alpha^{(1)}} \right]$$

$$z_{r}(t) = \operatorname{dRe} \left[K_{2} \left(b^{(1)} t + b_{1}^{(1)} - \frac{\alpha}{t} \right) - \frac{1}{t} W^{(1)}(t) - \overline{\alpha^{(1)}} \right]$$

$$z_{r}(t) = \operatorname{dRe} \left[K_{2} \left(b^{(1)} t + b_{1}^{(1)} - \frac{\alpha}{t} \right) - \frac{1}{t} W^{(1)}(t) - \overline{\alpha^{(1)}} \right]$$

$$z_{r}(t) = \operatorname{dRe} \left[K_{2} \left(b^{(1)} t + b_{1}^{(1)} - \frac{\alpha}{t} \right) - \frac{1}{t} W^{(1)}(t) - \overline{\alpha^{(1)}} \right]$$

$$z_{r}(t) = \operatorname{dRe} \left[K_{2} \left(b^{(1)} t + b_{1}^{(1)} - \frac{\alpha}{t} \right) - \frac{1}{t} W^{(1)}(t) - \overline{\alpha^{(1)}} \right]$$

$$z_{r}(t) = \operatorname{dRe} \left[K_{2} \left(b^{(1)} t + b_{1}^{(1)} - \frac{\alpha}{t} \right) - \frac{1}{t} W^{(1)}(t) - \overline{\alpha^{(1)}} \right]$$

$$z_{r}(t) = \operatorname{dRe} \left[K_{2} \left(b^{(1)} t + b_{1}^{(1)} - \frac{\alpha}{t} \right) - \frac{1}{t} W^{(1)}(t) - \overline{\alpha^{(1)}} \right]$$

$$z_{r}(t) = \operatorname{dRe} \left[K_{2} \left(b^{(1)} t + b_{1}^{(1)} + b_{1}^{(1)} - \frac{\alpha}{t} \right) - \frac{1}{t} W^{(1)}(t) - \overline{\alpha^{(1)}} \right]$$

$$z_{r}(t) = \operatorname{dRe} \left[K_{2} \left(b^{(1)} t + b_{1}^{(1)} + b_{1}^{(1)} - \overline{\alpha^{(1)}} \right) - \overline{\alpha^{(1)}} \right]$$

$$z_{r}(t) = \operatorname{dRe} \left[K_{2} \left(b^{(1)} t + b_{1}^{(1)} + b_{1}^{(1)} - \overline{\alpha^{(1)}} \right) - \overline{\alpha^{(1)}} \right]$$

Пример 2. В отношения температурных характеристик выполняются граничные условия п.5, а нараметры n и m принимают значения: $n=2,\ m=1$.

Здесь все неличины, вошедшие в формулы 5-го пункта, следует подсчитывать при значениях $n=2,\ m=1.$

Контактные напряжения $\tau_{ro}^{(k)}$ ($k=1,\ 2$) и кольдевые напряжения в пластинке $\tau^{(2)}$ и и шайбе $\tau^{(1)}$ на лишии раздела материалов определяются формулами

$$z_{r_{\theta}}(t) = \operatorname{Re} \left[\Omega_{1}(t) - \mu_{1}W^{(2)}(t)\right]
(t \in \mathcal{L})$$

$$z^{(1)}(t) = \operatorname{Re} \left[\Omega_{1}(t) - \mu_{1}W^{(2)}(t)\right], \quad z^{(2)}(t) = \operatorname{Re} \Omega_{2}(t)$$

$$z^{(3)}(t) = \operatorname{Jm} \left[\Omega_{1}(t) - \mu_{1}W^{(2)}(t)\right], \quad z^{(2)}_{r_{\theta}}(t) = \operatorname{Jm} \Omega_{2}(t)$$

$$(t \in \mathcal{L}')$$
(5.16)

$$z_{z}^{(1)}(t) = 4\text{Re}\Omega_{z}^{-1}(t) - z_{z}(t), \quad z_{z}^{(2)}(t) = 4\text{Re}\Omega_{z}^{-1}(t) \qquad (t - L') \quad (5.17)$$

$$z_{z}^{(1)}(t) = 4\text{Re}\Omega_{z}(t) - z_{z}^{-1}(t), \qquad (t) = 4\text{Re}\Omega_{z}(t) - z_{z}^{-1}(t) \quad (5.18)$$

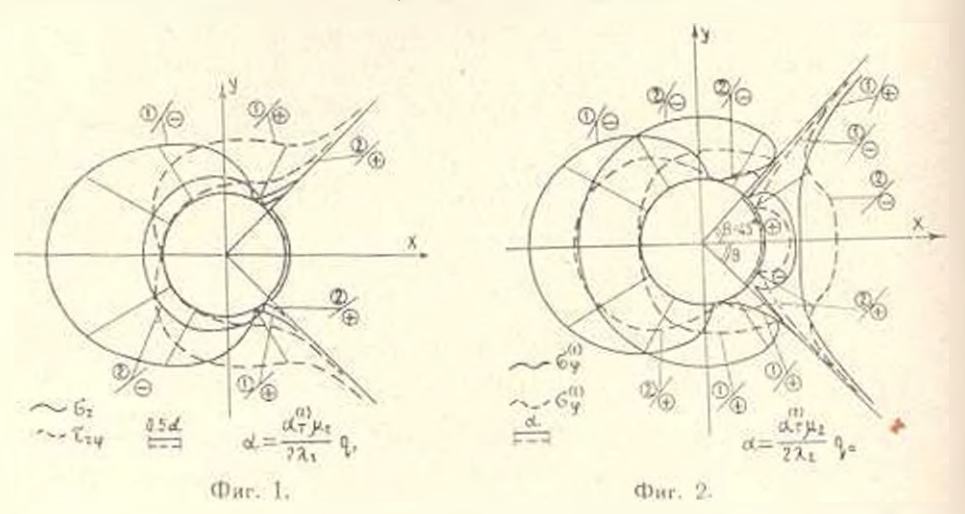
В соотношениях (5.15) — (5.18) впедены обозначения

$$\Omega_{1}(z) = \frac{1 - x_{1}}{z_{2}} \left[\overline{a_{0}^{(2)}} - K_{1} F_{1}(0) - K_{1} F_{1}(z) \right] - \frac{\mu_{1}}{x_{1}} W^{-1}(z)$$

$$\Omega_{2}(z) = \frac{1 + x_{2}}{x_{2}} \left\{ K_{2} \left[\frac{\alpha_{2}}{z_{2}} - K_{1} F_{1}(0) - K_{1} F_{1}(z) \right] - \mu_{2} W^{-1}(z) \right\} (5.19)$$

$$\Omega_{3}(z) = \frac{1}{z_{1}} \left[\alpha_{0}^{(2)} - K_{1} \overline{L_{1}(0)} \right] - \frac{1 + z_{1}}{z_{3}} L_{1}(z) - \frac{1}{z_{4}} L_{2}(z)
\Omega_{4}(z) = \frac{\alpha_{0}}{z_{1}} \left[R^{(2)}(z) - \frac{K_{2}}{z_{2}} \right] b_{\perp}^{(1)} z + L_{2} - \frac{\alpha_{-1}}{z_{-1}} - \frac{1 + z_{2}}{z_{3}} K_{0} F_{\pi}(z) \quad (5.19)$$

На фиг. 1 и 2 изображены графики распределения контактных и кольценых напряжений на линии раздела материалов при $\theta=45$, подсчитанных с помощью формул (5.12)—(5.14) я предположении, что $T_0=0$, а \mathbf{q}_0 направлен по отрицательной оси Ox.



Цифра "1" отпосится к случаю, когда = 1.43, 1.84, $\frac{z_T^{(1)}}{z_T}$ 0.69 (пластинка на алюминия, а шайба—на меди); цифра "2" к случаю, когда $\frac{a_1}{t_2}$ 1.43, $\frac{t_1}{t_2}$ 0.52 и $\frac{z_T^{(1)}}{z_T}$ = 0.75 (алюминиевая пластинка и латупная шайба).

Графики напряжений z_r , $z_2^{(t)}$ и z_r^2 — симметричные относительно оси Ox_r а напряжений z_r — антисимметричные.

Анаомении государственный упиверситет

Поступнав 22 V 1970

ા 🕒 મામભાવાયું છે. ૧૯, વે. પ્રાથમાં છે છે

եՐՋԱՆԱԴԾԻ ԵՐԿԱՅՆՔՈՎ ԿՏՐՎԱԾՔՆԵՐ ՈՒՆԵՑՈՂ, ԿՏՈՐ ԱՌ ԿՏՈՐ ՀԱՄԱՍԵՌ ՈԱԼԵ ՋԵՐՄԱՌԱԶԳԱԿԱՆ ՎԵԺԱԿԸ

դում արևայի միջադրե մակաման և մայի առակաց առանական միջաված ունական կան արևային այն արևադատ կան արևադատ

նրանինին թաժանման գծի վրա ձարերի կարված ընկի ասկալու լան դեպրամ, նրբ հուրել ավներին ուրված են ջերմաստիճանային բնությագրերի խասը պայմաններ,

THERMOELASTIC CONDITION OF A PIECEWISE HOMOGENEOUS ISOTROPIC PLATE WITH CUTS ALONG ITS CIRCUMFERENCE

B J POPOVICH, D. V. GRILITSKY

Summary

A solution is presented for the first and the second fundamental problems of thermoelasticity for an infinite isotropic plate with a soldered—in circular foreign inclusion with cuts along the line of soldering on whose edges mixed conditions for temperature characteristics are prescribed.

The bases of the plate are assumed to be heat-insulated, the thermo-contact between its components on the soldering arcs to be perfect.

The temperature field and stress-conditions in the piecewise homogeneous element are also determined.

ANTEPATYPA

- 1. Кит Г. С., Оренчко Ю. С. Температурные выпряжения в упругой плоскости с эермовзолированной дугообразной трещином. Прикл. механ., т. 1V, вып. 9, 1968.
- Гайвись И. В. Установившееся термоупругое состояние пеоднородной илосмости с рвареаом вдоль перужности. "Фил.-хим. механ. материалов", 5, №3, 1969.
- Мустелициили Н. И. Некоторые основные задачи математической теории упругости.
 Изд. Наука, М., 1966.
- 1. Мисколишения Н. И. Сингулярные питегральные уранновия Физматгия, М., 1962.
- 5 Асбедея Н. Н. Температурные напряжения и теории упругости. ОНТИ, М., 1937.

Մեխանիկա

XXIII, No 6, 1970

Micciona.

С. Н. БАБЮК, И. А. ЦУРПАА

НЕЛИНЕЙНЫЕ ЗАДАЧИ КОНЦЕНТРАЦИИ НАПРЯЖЕНИЙ ДЛЯ ПЛАСТИН С КРИВОЛИНЕЙНЫМИ ОТВЕРСТИЯМИ

Развивается метод решения нелинейных задач концентрации напряжений около произвольных отверстий с гладкими контурами при учете кубического закона папряжения-деформации. Дано решение задачи о распределении напряжений иблизи эллиптического отверстия с учетом трех приближений. Получены выражения для компонент тензора напряжений и коэффициентов концентрации и показано влияние физической нелинейности, кривизны контура, величины внешней нагрузки на распределение напряжений по контуру эллиптического отперстия.

В работах [1—3] рассмотрены задачи о концентрации напряжений около отверстий при сохранении в нелинейном законе упругости квадрата интенсивности напряжений сдвига. Этот вариант хорошо описывает поведение металлических материалов. В снязи с широким применением в современной технике конструкционных материалов малой жесткости позникла необходимость учета нелинейных эффектов при исследовании задач концентрации напряжений. Здесь развивается метол и получено решение задач концентрации напряжений для высокоэластичных материалов.

1. Исследуем напряженное состояние неограниченной изотролной пластипки с произнольным отнерстием, получаемым из отображающей функции

$$z = \omega(\hat{z}) = R \qquad (z = re^i, z = \omega) \tag{1}$$

которая реализует конформное отображение бесконечной плоскости с круговым отверстием единичвого раднуса на бесконечную плоскость с отверстием рассматриваемой формы. Параметры R и а также функция $f(\cdot)$ характеризуют форму и размеры отверстия и имеют для эллиптического отверстия значения: $R = \frac{a+b}{a-b} = \frac{a-b}{a-b}$

где a и b = полуови эллипса.

Предполагаем, что деформация малы, а материал пластинки подчиняется нелинейному закону упругости [4]

$$a_{21} = a_{21} a_{21} a_{22} a_{23} a_{24} a_{34} + a_{24} a_{$$

тде с соотнетственно компоненты тензора напряжений и деформаций, с символ Кронекера, постоянные, характеризующие межинческие свойства нысокорластичных полимерных материзлов, повторяющиеся индексы обозначают суммирование.

Выражая компоненты тензора напряжений через функцию папря-

$$s_{ij} = F_{Ai} \delta_{ij} - F_{Bi}$$
(3)

и подставляя компоненты тензора деформаций (2) в условие совместпости деформаций, получим основное уравнение физически ислипейной плоской теории упругости в виде

$$\Delta \Delta F + a \Delta \left[(\Delta F)^{2} \right] + \beta \left[\Delta \left(F_{,ij} F_{,ij} \right) + 2 \left(\Delta F F_{,ij} \right)_{,ij} \right] +$$

$$+ \gamma \Delta \left[(\Delta F)^{3} \right] + \delta \left(F_{,ij} F_{,km} \right)_{,km} + \omega \left[\Delta \left(\Delta F F_{,ij} F_{,ij} \right) - \left((\Delta F)^{2} F_{,ij} \right)_{,kj} \right] = 0$$

$$(4)$$

где запятая обозначает дифференциропание по спответствующим коориниатам.

Приближенное решение нелинейного уравнения (4) для случая, когда бескопечная плоскость ослаблена криволинейным отверстием (1), представим в виде двойного ряда по малым параметрам

$$F(r, c, a, z) = \sum_{\epsilon=1}^{r} \sum_{j=1}^{r}$$
 (5)

Решение линейной задачи по методу поэмущений с учетом двух приближений (в ряду (5) сохранялись слаглемые с точностью до =) отличается от точного решения [1 3] пе более чем на 30/0. Решение нелинейной задачи для кругового отперстия при этом законе упругости (2) двет право с небольшой погрешностью решат, поставленную задачу с учетом трех приближений.

Подставляя неизвестную функцию (5) в разрешающее уравнение (4), в каждом из приближений получим последовательность бесконечных неоднородных бигармонических уравнений

$$\Delta \Delta F^{(l,l)} = L_{ij}(F^{(l,l)}, \dots, F^{(l),(l+1)})$$
 (6)

Янный вид операторов L_{ij} для физически нединейной пластинки с круговым отнерстием и первом приближении имеет вид

$$\Delta \Delta F^{(0,0)} + \alpha \Delta \left[\left(\Delta F^{(0,0)} \right)^{2} \right] + \frac{1}{r} \left[\Delta \left[F^{(0,0)}_{,rr} F^{(0,0)}_{,rr} + \left(\frac{1}{r} F^{(0,0)}_{,rr} + \frac{1}{r} F^{(0,0)} \right)^{2} \right] + 2 \left(\frac{1}{r} F^{(0,0)}_{,rr} - \frac{1}{r^{2}} F^{(0,0)}_{,rr} \right)^{2} \right] + 2 \frac{\partial^{2}}{\partial r^{2}} \left(\Delta F^{(0,0)} F^{(0,0)}_{,rr} \right) + 2 \left(\frac{1}{r} \frac{\partial}{\partial r} + \frac{1}{r^{2}} \frac{\partial^{2}}{\partial r^{2}} \right) \left[\Delta F^{(0,0)} \left(\frac{1}{r} F^{(0,0)} + \frac{1}{r^{2}} F^{(0,0)} \right) \right] +$$

$$(7)$$

$$+4\left(\frac{1}{r}\frac{\partial}{\partial r\partial z} - \frac{1}{r^2}\frac{\partial}{\partial z}\right)\left|\Delta F^{(0,0)}\left(\frac{1}{r}F^{(0,0)}_{,r} - \frac{1}{r^2}F^{(0,0)}_{,r}\right)\right| = 0 \tag{7}$$

Для определения напряженного состояния ислинейно-упругой пластинки с кринолинейным отперстием имеем уравнение

$$\begin{split} \Delta \Delta F^{(1-1)} + \tau \Delta \left[2\Delta F^{(0-1)} \Delta F^{(0-1)} \right] &= \beta \left[2\Delta \left[F^{(0-0)} F^{(0-1)}_{rr} + \frac{1}{r^{2}} F^{(0-1)} + \frac{1}{r^{2}} F^{(0-1)} + \frac{1}{r^{2}} F^{(0-1)} \right] + 2 \left(\frac{1}{r} F^{(0-1)} + \frac{1}{r^{2}} F^{(0-1)} + \frac{$$

Для определения напряженного состояния пластинки с криволинейным отперстием (1) необходимо воспользонаться формулами преобразования при понороте системы координат [1]. Представляя компоненты тензора напряжений дакже и виде двойного ряда

$$z_{km} = \sum_{l=1}^{\infty} \sum_{l=0}^{\infty} \alpha^{l} z^{l} \, \alpha_{km}^{(l, l)} \tag{9}$$

и учитыная вид отображающей функции (1), получим напряжения в криводинейной системе координат

$$\begin{split} \sigma_{g}^{(i,\,j)} &= \left(\Delta - \frac{\partial^{z}}{\partial \varphi^{2}}\right) F^{(i,\,j)}\left(\varphi,\,\,\theta\right) + \sum_{k=0}^{l-1} \left[L_{l}^{(i-k)}\left(\Delta - \frac{\partial^{2}}{\partial \varphi^{2}}\right) + \right. \\ &+ \left. L_{2}^{(j-k)}\left(2\frac{\partial^{2}}{\partial \varphi^{2}} - \Delta\right) - L_{3}^{(j-k)}\frac{\partial^{2}}{\partial \varphi\partial\theta}\frac{1}{\varphi}\right] F^{(i,\,k)}\left(\varphi,\,\,\theta\right) \\ &- \left. \sigma_{\theta}^{(i,\,j)} &= \frac{\partial^{2}}{\partial \varphi^{2}} \cdot F^{(i,\,j)}\left(\varphi,\,\,\theta\right) + \sum_{k=0}^{l-1} \left|L_{l}^{(j-k)}\frac{\partial^{2}}{\partial \varphi^{2}} + \right. \\ &+ \left. L_{2}^{(j-k)}\left(\Delta - 2\frac{\partial^{2}}{\partial \varphi^{2}}\right) + L_{3}^{(j-k)}\frac{\partial^{2}}{\partial \varphi\partial\theta}\frac{1}{\varphi}\right] F^{(i,\,k)}\left(\varphi,\,\,\theta\right) \\ &+ \left. \sigma_{\varphi\theta} &= \frac{\partial^{2}_{\theta}}{\partial \varphi\partial\theta} \cdot \frac{1}{\varphi} F^{(i,\,l)}\left(\varphi,\,\,\theta\right) + \sum_{k=0}^{l-1} \left[\left(L_{l}^{(j-k)} - 2L_{2}^{(j-k)}\right)\frac{\partial^{2}}{\partial \varphi\partial\theta}\frac{1}{\varphi} + \right. \\ &+ \left. \left. \left. \frac{1}{2} L_{3}^{(j-k)}\left(\Delta - 2\frac{\partial^{2}}{\partial \varphi^{2}}\right)\right] F^{(i,\,k)}\left(\varphi,\,\,\theta\right) \end{split}$$

тде $L_i^{(i-1)}$, $L_i^{(i-k)}$, $L_i^{(i-k)}$ — дифференцияльные операторы, вид которых ванием от отображающей функции (1).

Функции $F^{(i,j)}(\gamma,\beta)$, входящие в (10), представляют собои решение уравнения (6) в виде ряда Фурье, в которых переменные r, а замижены соответственно на γ и θ .

2. Иселедуем напряженное состояние пелипейно-упругой пластинвланитическим отверстием при всесторонием растяжении. Функции напряжений линейной задачи для кругоного отперстия имеет вид [2]

$$\frac{p}{3}\left(r^2 - 2\ln r\right) \tag{11}$$

Водстандия лизчение атой функции и се производных и уравнение (6), (7), получим характеристики напряженного состояния нединейно-упругой пластинки с круговым отнерстнем по втором приближении

$$F^{(1,0)} = -p^{2} \left(\frac{1}{2r^{2}} + 4 \ln r + \ln r \right)$$

$$F^{(2,0)} = -p^{2} \left(\frac{2}{r} + 16 \ln^{2} r + 4 \ln r \right) + 5p^{3} \left(34 \ln^{2} r + \frac{27}{3} + \frac{1}{3} + \frac{2}{3} + \frac{1}{3} + \frac{1}{3} \ln^{2} r + \frac{89}{3} \ln^{2} r + \frac{89}{3} \ln^{2} r + \frac{1}{2} \frac{1}{r^{2}} + \frac{1}{4} \frac{1}{r^{2}} + \frac{1}{3} \ln^{2} r + \frac{1}{3} \ln^{2} r + \frac{1}{3} \ln^{2} r + \frac{1}{4} \ln^{2} r + \frac{1}{4$$

Для линейно-упругой пластинки с эллиптическим отверстием функции напряжений с точностию 2: имеют вид

$$F^{(0,1)} = p\left(\frac{1}{r} - 1 \mid \cos^{2}\theta\right)$$

$$F^{(0,2)} = p\left[\left(\frac{3}{r} - \frac{1}{r}\right)\cos 4\theta - \ln r\right]$$
(13)

Подставляя значение функций (11) — (13) и их произподных в гравнение (8), получим разрешающее уравнение для нелинейно упругой пластинки с эллиптическим отнерстием

$$\Delta \Delta F^{(1)} = 3p \left(\frac{320}{r} - \frac{768}{r^2} \right) \cos 2r = 0 \tag{14}$$

Решение этого ураниения предстаним в виде частного интеграля

$$F_{\text{total}} = \left(k_1 \frac{\ln r}{r} - k_2 \frac{1}{r}\right) \cos 2. \tag{15}$$

и питеграла однородного уралиения

$$\sum_{i=1}^{n} \left(\frac{16}{n} \right) \cos m_{\tau} \tag{16}$$

Постоянные интегрирования $c_{r=1}$, $c_{r=1}$ определим из граничных условий на контуре свободного от внешних услоий отверстия при

$$\left(\Delta - \frac{\partial^{2}}{\partial \varphi^{2}}\right) F^{(1,1)} \left[-\frac{L^{(1)}}{2} \left(\Delta - \frac{\partial^{2}}{\partial \varphi^{1}}\right) - \frac{L^{(1)}}{2} \frac{\partial^{2}}{\partial \varphi^{2}} - \frac{1}{2} \left[F^{(1,0)} \right] \right] = 0$$

$$\frac{\partial^{1}}{\partial \varphi^{2}} \frac{1}{2} F^{(1,0)} \left[-\frac{L^{(1)}}{2} - 2L^{(1)} \right] \frac{\partial^{2}}{\partial \varphi^{2}} - \frac{1}{2}$$

$$\frac{1}{2} L_{2}^{(1)} \left(\Delta - 2\frac{\partial^{2}}{\partial \varphi^{2}}\right) \left[F^{(1,0)} \right] = 0$$
(17)

где L_{I} для отображающей функции $z=R\left(z=-\frac{1}{z}
ight)$ имеют нид

$$L_{1}^{(1)} = \frac{\cos 2^{l_{1}}}{s} \frac{\partial}{\partial s} - \frac{\sin 2^{l_{1}}}{\partial s}, \quad L_{2}^{(1)} = 0, \quad L_{3}^{(1)} = \frac{4\sin 2^{l_{1}}}{s}$$
 (18)

Учитыная (14) — (18), получим

$$F^{(1,1)}(r, \gamma) = \beta p^{2} \left(\frac{20 \ln r}{3} - \frac{2}{r} - \frac{5}{3} + \frac{11}{r}\right) \cos 2\gamma \tag{19}$$

Для анализв нелинейных эффектов напряженного состояния приведем выражения ковффициентов концентрации напряжений $k=\frac{1}{p}$. Учитывая (9), (11), (12), (13), (19), найдем компоненты тензора напряжений (10).

Коэффициент концентрации напряжений на контуре отверстия имеет вид

$$k = 2 - 10^{3}p - \left(40z^{3} - \frac{82}{3}z^{2} - 12z^{2}\right)p^{2}$$

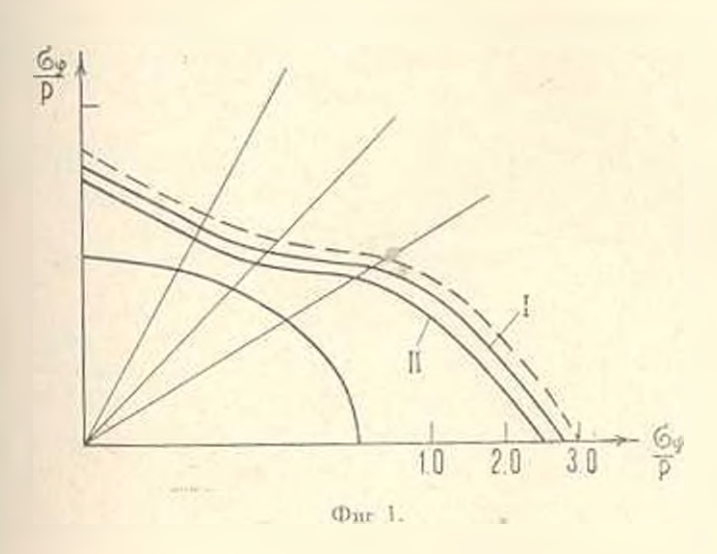
$$-4z\cos 2^{6} - z^{2}\left(16\cos 4^{6} - 12\right) - \frac{80}{7}p^{3}z\cos 2\theta$$
(20)

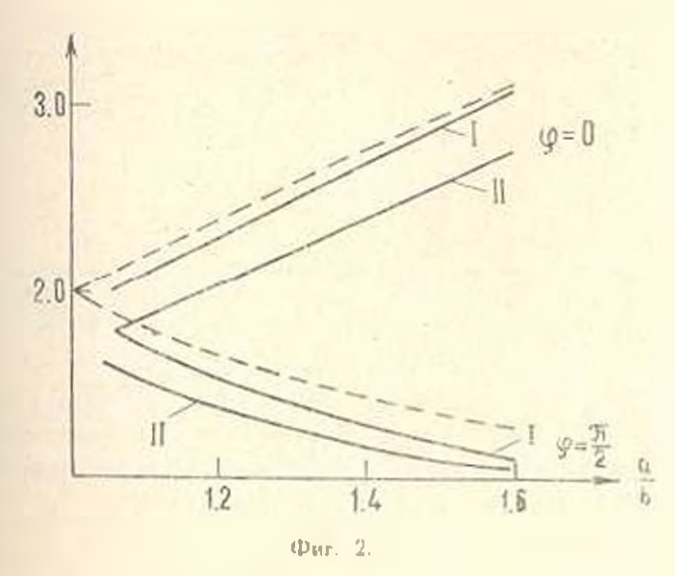
На фиг. 1 приведен колффициент концентрации (201 по контуру отнерстия для различных параметров внешней нагрузки, механических снойсти материала и кривизны контура. Пунктирчая линия относится к линейной теории, а сплошная—к нелипейной.

Кривая I построена для сжатия при p=120. 4=0.1.10 ; $\alpha=0.1\cdot10^{-4}$; $\delta=0.1\cdot10^{-4}$; $\delta=0.1\cdot1$

На фиг. 2 приведено значение коэффициента концентрации (20) и записимости от кринизны контура для материала с характеристиками

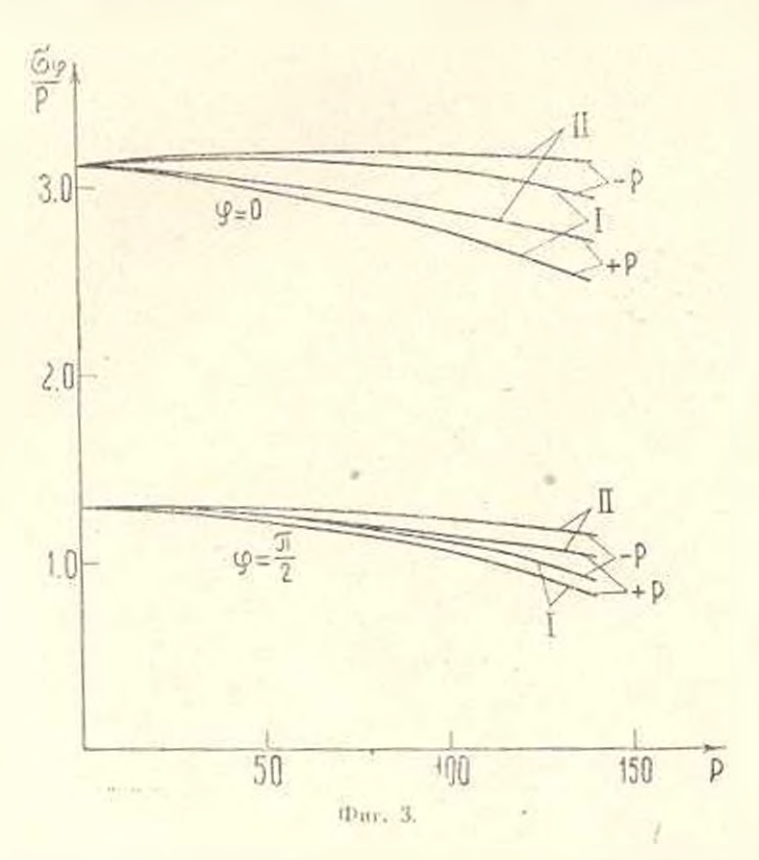
 β 0.1·10⁻³; α = 0.1·10⁻³; $\bar{\alpha}$ = 0.1·10 ; ω = 0.1·10⁻⁴ при p = 100. Пунктирная линия относится к липейной теории, сплошная—к неливейной.





Кривал I построена при сжатии, II—при растижения. На фиг. З показано изменение коэффициента концентрации (20) в зависимости от величины инешней нагрузки при 0 и $\frac{1}{2}$ для растижения и сжатия для различных физически пелинейных материалов. Кривая $\frac{1}{2}$ —для материала с характеристиками $\frac{1}{2}$ =0.1 ·10 · $\frac{1}{2}$: $\frac{1}{2}$ =0.1 ·10 · $\frac{1}{2}$; $\frac{1}{2}$ =0.1 ·10 · $\frac{1}{2}$

Результаты анализа решений поставленной задачи показывают: коэффициенты концентрации нелинейно записят от свойстя материала, неличины нагрузки и кривизны контура; для пысокоэластичных материалов незначительное унеличение нагрузки приподит к существенному уменьшению коэффициента концентрации и наиболее опасной



точке коптура; учет нелинейвых эффектов принодит в выравниванию поля напряжений в зоне концентрации; коэффициент концентрации в отличие от другого вариянта нелинейной теории упругости [1—3] имеет разпое значение при растяжении и сжатии.

Институт механики АН Украинской ССР

Hoctymixa 20 VII 1970

U. D. PILIVERDIN, D. H. SOFPHILL

ԼԱՐՈՒՄԵՒՔԵ ԿՄԵՑԵՆՏՐԱՑԻԱՅԻ - ՈՉ ԳԾԱՅԻՆ ԽՆԳԻՐԵՒՐԸ ԿՈՐԱԳԻԾ ԱՆՑՔԵՐՈՎ ՍԱԼԵՐԻ ՀԱՄԱՐ

Haffinglini d

Կամայական աշրացվ տալիրի ամար առաջարկվում է լարումների և հայկանակի ոչ հայկան հաշվառմամբ լարումների կոնցենարացիայի մասին խաղիրների լուծման եղանակ։ հնարիրծերը լուծվում են փորթ պարամետրի մեխողով։ Որպես օրինակ դիտարկվում է կորադիծ անցչի մոտ լտրումների կոնցենարացիայի մասին ինորի լածումը։

NONLINEAR PROBLEMS OF STRESS CONCENTRATION FOR PLATES WITH CURVILINEAR HOLES

S. N. BABIUK, I. A. CIURPAL

Summary

The paper presents a method for solving problems of stress concentration near arbitrary holes without corner points with an arbitrary stress field on the infinity for a new variant (the cubic law) of nonlinear stress-strain relations. To solve the nonlinear equations a combination of the method of disturbance of the boundary shape with the method of small parameter is employed.

As an example the problem of stress concentration near a curvilinear hole is considered. The effect of physical nonlinearity and of the value-of load on the stress concentration along the hole boundary is also studied.

AHTEPATYPA

- 1. Гумь А. Н., Спанн Г. П., Цурпал Н. А. Компентрации папряжений около криволипейных отверстий в физически пелинейной упругов пластинке. Arch. Mech. Stos., т. 16, 1, 1964, 1009.
- Санин Г. Н. Распределение паприжений около отверстве Изд. "Наукова думка", К., 1968.
- Дургол И А Некоторые задачи концентрации папряжений пасоло отверстий и полостей с учетом физической пелипейности материала Сб. Концентрация папряжения. 1968, ями. 2, 241
- 4 Пистер К. С., Ипене Р. И. Расчет упругих папражений в физически пелиненных твордых топлинах. Ракетная техника и космоноватико, 4, 11, 1966, 35.
- 5. Дурнил И. А. Об одном вприонте задоч о концептрации наприжений в ислинейпой постановке. Приил. механ., т. 1, вып. 10, 1968, 51.

MES. DOS

P. E. MKPT49H

ВОЛЬШИЕ ДЕФОРМАЦИИ НЕСЖИМАЕМОГО УПРУГОГО ТЕЛА, АРМИРОВАННОГО ОДНОНАПРАВЛЕННОЙ СИСТЕМОЙ УПРУГИХ НИТЕЙ

На основании общей нелинейной теории упругости [1, 2] исследуются некоторые снойства сплошной несжимаемой упругой среды, армированной строго однонаправленной системой тонких упругих и нескимаемых нитей, имеющих значительно более высокий модуль упругости, чем окружающий их материал.

Принимается, что указанная среда по направлению нитей разно сопротивляется деформациям растяжения и сжатия.

Рассматриваются задачи растижения и симметричного расширения круговой цилиндрической трубы и цилиндрического изгиба прямоугольного паравления да, армированных по кольценому направление.

Метод нахождения связи между напряжениями и деформациями в рамках линейной теории упругости в зависимости от механических характеристик упругой среды и армирующего материала можно найти в работе [3].

1. Представим одпородную упругую и несжимаемую среду, аринрованную строгонаправленной системой тонких упругих нитей из несжимаемого материала так, что нити заполняют эту среду всюду равномерно. Тогда можно принять, что композиционный материал однородей в том смысле, что его упругие спойства одинаковы в каждой точке, при условии, что оси, к которым яти спойства отнесены, ориевтированы соотнетствующим образом. Пусть такой системой координат является (g_{11} , g_{22} , теде одно из g_{21} , g_{22} , совпадает с направлением нитей.

Пусть каждая нить идеально топкая, абсолютно гибкая и не образует каких-либо неправильных перегибов. Нити достаточно близки друг к другу и прилипают к среде, в которую они инедрены, так, что возможность скольжения какой-либо лити по отношению к примыкающему материалу пеключается.

Как похальвают эксперименты, нолокно в композиционном материале, если выдерживает ежимающую силу (не считая всестороннего гидростатического данления), то веледствие возникновения некотороя формы неустойчиности оно теряет примолинейную форму и оказывает меньшее сопротивуение, ч м при растягивающих напряжениях.

Тогда можно предполагать, что выражения функции энергии деформации материала при растяжениях и сжатиях нитей различны. Так как нити тонкие и расположены достаточно плотно, то можпо принимать, что композиционный материал траневерсально изотропен по отношению к направлению нитей. Тогда функции энергии деформации, соответствующие растяженным и сжатым нитям в дефоршированном теле, выражаются [2]

$$W = W (I_1 I_2 K_1, K_2)$$

$$W^- = W (I_1 I_2, K_1, K_2)$$
(1.1)

где I₁ и I₂-инварианты деформации.

Если, например, нити имеют направление θ_{21} то

$$\gamma_{(ij)} = \gamma_{(ji)} = \gamma_{(ji)} = \gamma_{(j)} \cdot \gamma_{(ij)} \cdot \gamma_{(ij)} = \gamma_{(ij)} \cdot \gamma_{(ij)} \cdot \gamma_{(ij)} = \gamma_{(ij)}$$

и G_{ij} — ковариантные компоненты метрических тензоров недеформерованного и деформированного состояний соответственно по отномению к ортогональной системе координат G_{ij} — тензор деформации по отношению к системе

Если известно деформированное состояние тела, то напряженное состояние определяется в зависимости от знака γ_{12} (если нити имеют заправление θ_{0}).

Когда > 0 (няти растягинаются), то компоненты контрварнаятного тензора напряження соответствующие функции ру , опредсляются выражениями [2]

$$v^{j} = \Phi \quad g^{ij} + \Psi^{+} B^{ij} - \rho \quad G^{ij} + \Theta^{+} M^{ij} - \Lambda \quad N^{ij}$$
 (1.4)

rae

$$\Phi^{+} = 2 \frac{\partial W}{\partial I_{1}} \qquad \Psi = 2 \frac{\partial W}{\partial I_{2}} \qquad = \frac{\partial W}{\partial K_{+}}, \qquad \Lambda^{+} = \frac{\partial W}{\partial K_{-}}$$

$$B^{ij} = I_{1} g^{ij} - g^{ij} = G_{ij} \qquad (1.5)$$

$$M^{ij} = A^{ij}_{(22)}, \qquad N^{ij} = (A^{ij}_{(-1)} + A^{ij}_{(22)}) \Upsilon_{(22)}$$

индекс и принимает только значения 1 и 3.

$$A_{(rs)}^{ij} = \frac{\partial}{\partial \theta^r} \left\{ \frac{\partial}{\partial \theta^s} \right\} = \frac{\partial}{\partial \theta^{s}} \left\{ \frac{\partial}{\partial \theta^{s}} \right\} = \frac{\partial}{\partial \theta^{s}}$$
(1.6)

 g^{ij} и G^{ij} — контриариантные компоненты метрических тензоров педерормированного и деформированного состояний соответственно относительно подвижной системы координат θ' .

3 Известия АН Армянской ССР, Механика, № 6

Аналогичным образом определяются компоненты напряжений, соответствующие функции $W \ (\gamma_0 < 0)$.

Если 7., в пределах тела меняет знак, то из уравнения

$$q = 0 \tag{1.7}$$

можно найти поверхность (линию или область), разделяющую зоны растяженных и сжатых нитей.

 Рассмотрим задачу растяжения и симметричного расширения круглой цилиндрической грубы, армированной по кольцевому направлению.

Пусть труба деформируется:

- а) простым растяжением с коэффициентом растяжения 🛵
- б) однородным раздуванием, при котором внешний и внутренний раднусы трубы a_1 и a_2 переходят в $r_1=a_1a_1$ и $r_2=p_2a_2$.

Для определения деформированного состояния в качестве подпижной системы координат θ ныберем систему цилиндрических координат r, θ , y_3 так, чтобы координата y_3 совпадала с оськи трубы. Система θ совпадает с цилиндрическими координатами недеформированного состояния $\phi = 0$, $\phi = 0$, $\phi = 0$, $\phi = 0$.

Метрические тензоры деформированного и недеформированного состояний трубы относительно системы r, θ , η_3 будут [1]

$$g_{ij} = \begin{bmatrix} 1 & 0 & 0 \\ 0 & r^{2} & 0 \\ 0 & 0 & 1 \end{bmatrix}, \quad G = \begin{bmatrix} 1 & 0 & 0 \\ 0 & 1_{j}r^{2} & 0 \\ 0 & 0 & 1 \end{bmatrix}, \quad G = r^{2}$$

$$\begin{bmatrix} \frac{L^{2}}{Q^{2}} & 0 & 0 \\ 0 & Q^{2}r^{2} & 0 \\ 0 & 0 & \frac{1}{I^{2}} \end{bmatrix} \qquad \begin{bmatrix} \frac{Q}{I^{2}} & 0 & 0 \\ 0 & \frac{1}{I^{2}} & 0 \\ 0 & 0 & I^{2} \end{bmatrix}, \quad g = r^{2}$$

$$(2.1)$$

Из (7) и (8) находим

$$= \frac{\partial b^m}{\partial u} \frac{\partial b^n}{\partial u} \frac{\partial b^n}{\partial u} = \frac{1}{a_{mn}} = \frac{1}{2} (r - s) = 0$$
 (2.2)

где и r_0 — раднусы рязделяющей поперхности областей растяженных и сжатых нитей до и после деформаций. Из (2.2) и из условия несжимаемости получаем

$$r = p_0^* = \alpha_1 - (a_1^2 + -r_1) - \alpha_2 + k(r_0^2 - a_1 p_1^2)$$

откуда

$$r_0 = a_1 \sqrt{\frac{1 - \lambda \mu_1^2}{1 - \lambda}} = a_2 \sqrt{\frac{1 - \lambda \mu_2^2}{1 - \lambda}}$$
 (2.3)

Из условия несжимаемости получаем вависимость между ч и

Исследуем деформированное состояние в записимости от чал и Как видно из (2.3), если и 1, то все нити в трубе растигиваются или сжимаются в зависимости от того часими. Сольше или меньше единицы.

Если 1>/ 0, то

аl при $r_0 > r_1 - a_1 \mu_1$ или $r_1 = 1$ (следует из (2.3)) все нити и трубе ожимаются. Тогда на основании (2.4)

$$p_2 = \frac{1}{a_z} \sqrt{\frac{1}{\lambda} (a_1^2 \lambda - a_1^2 + a_2^2)}$$

Так как ра положительное действительное число, то

$$i > 1 - \frac{a}{a_1}$$

6) при $r_0 = r_0 = 0.24$ или $p_2 = 1$ нее нити в трубе растягиваются. Тогда

$$\mu_1 \simeq \frac{1}{a_1} \left(a_2^a h + a_1^b - a_2^b \right)$$

в) при $r_1 > r_0 > r$ или одновременно > 1 и $\mu_n = 1$ но внешнея части грубы нити растягиваются, а но внутренней сжимаются. Указанное условие на основании (2.4) можно написать в виде

$$1 < a_1 < \frac{1}{a_1}$$

$$\frac{1}{\lambda} (a_1 \lambda + a_2 - a_3)$$

HAM

$$1 > n > \frac{1}{a_1} \left(\frac{1}{a_1^2} i - a_1^6 - a_2^6 \right)$$

Если >1, то

- a) при $r_0 = a_1$ $\int_{-1}^{1} \frac{u_1 1}{1} = r_1 = u_1$ или 1 все нити растя-
 - 6) при $r_0 < r_2 = a_2 \mu_2$ или $\mu_2 < 1$ исе нити сжимаются,
- в) при $r_1 > r_0 = r_2$ или одновременно $r_1 < 1$ и во внутреннен части трубы инти растягиваются, а во внешней—сжимаются. Это условие можно написать в виде

$$1 > \nu_1 > \frac{1}{a_4} \sqrt{\frac{1}{\lambda} (a_2^2 \lambda + a_1^2 - a_2^2)}$$

Рассмотрим случай, когда труба выворачивается наизнанку. В этом случае ℓ отрицательное и значение ℓ_0 , как видно из (2.3), всегда действительное.

- а) При $r_0 = r_1 a_1 p_1$ или $p_1 = 1$ все нити растягиваются,
- 6) при $r_0 = r_0 = a_0 q_0$ или $p_0 \leqslant 1$ нити в трубе сжимаются. Тогда согласно (2.4)

$$a_1 = \frac{1}{a_1} \left[\frac{1}{\lambda} \left(a_2 i + a_1 - a_1 \right) \right]$$

Так как и действительное, то -

$$i>1-\frac{a_1^2}{a_2^2}$$

и) когда или одповременно $\mu_1 < 1$ и >1, в трубовозникают две зоны, где по внешней части деформированной трубы пити растягиваются, а во внутренней сжимаются. Тогда имеет место

$$1 > \mu_1 > \frac{1}{a_1} \sqrt{\frac{1}{\lambda} (a_2^2 \lambda + a_2^2 - a_1^2)}$$

Если в какой-то области трубы пити растягиваются, то на (1.4). (1.5) и (1.6), подставляя туда значения $M^{2z}=1$ γ^{z} , K=0, $N^{2z}=0$ (так как $\gamma_{2}=\gamma_{12}=0$), определяем компоненты контрвариантного теплора напряжений

$$\tau_{+}^{11} = \frac{Q^{2}}{h^{2}} \Phi^{+} + \left(\frac{1}{h^{2}} + Q^{2}\right) \Psi^{+} + p^{+}$$

$$\tau_{+}^{22} = \frac{1}{Q^{2}r^{2}} \Phi^{+} + \left(\frac{1}{h^{2}r^{2}} + \frac{1}{Q^{2}r^{2}}\right) \Psi^{+} + \frac{1}{Q^{2}r^{2}} \Theta^{-} + \frac{1}{r^{2}} p$$

$$\tau_{-}^{01} = h^{2}\Phi^{+} + \left(Q^{2} + \frac{h^{2}}{Q^{2}}\right) \Psi^{+} + p^{-}$$

$$\tilde{\tau}_{-}^{02} = \tilde{\tau}_{+}^{31} = \tilde{\tau}_{-}^{12} = 0$$
(2.5)

Неизвестная функция р определяется из уравнений равнопесия

$$\begin{split} \frac{\partial}{\partial r} \left| p \right| &+ \frac{Q^{2}}{r^{2}} \Phi - \left(\frac{1}{r^{2}} + Q^{2} \right) \Psi - \frac{1}{r} \left(\frac{Q^{2}}{r^{2}} - \frac{1}{Q^{2}} \right) \Phi^{*} - \\ &+ \left(Q^{2} - \frac{r^{2}}{Q^{2}} \right) \frac{1}{r} \Psi^{+} - \frac{1}{Q^{2}r^{2}} \Theta^{+} = 0 \\ &- \frac{\partial \rho}{\partial \theta} - \frac{\partial \rho}{\partial y_{+}} = 0 \end{split}$$

Отсюда получаем

$$p^{+} = -\frac{Q^{2}}{h^{2}} \Phi^{+} - \left(\frac{1}{h^{2}} + Q^{2}\right) \Psi^{+} - L^{+}(r) + H^{+}$$
 (2.6)

DAG

$$L^{+}(r) = \int_{r_{+}}^{r} \left[\left(\frac{Q^{2}}{r^{2}} - \frac{1}{Q^{2}} \right) \Phi^{+} + \left(Q^{2} + \frac{r^{2}}{Q^{2}} \right) \Psi^{+} - \frac{1}{Q^{2}} \Theta^{+} \right] \frac{dr}{r}$$
(2.7)

 г₀ при существовании в трубе обеих областей растяженных и сжатых нитей;

г. ги если все нити в трубе растягиваются.

Из (2.6), подстанляя впачение p^* в (2.5), получим

$$r^{2}e^{22} = H^{2} - L^{-1}(r) - \left(\frac{1}{Q^{2}} - \frac{Q^{2}}{h^{2}}\right)\Phi^{-1} + \left(\frac{h^{2}}{Q^{2}} - Q^{2}\right)\Psi^{-1} + \frac{1}{Q^{2}}\Theta^{+}$$

$$\tau^{21} = H^{-1} - L^{-1}(r) + \left(h^{2} - \frac{Q^{2}}{h^{2}}\right)\Phi^{+} - \left(\frac{h^{2}}{Q^{2}} - \frac{1}{h^{2}}\right)\Psi^{+}$$

$$\tau^{31} = \tau^{12} = \tau^{23} = 0$$
(2.8)

Для области сжатых нитей папряжения выражаются аналогичными формулами.

Если в деформированной трубе все нити растягиваются (сжимаются), то постоянная $H^+(H^-)$ определяется

$$H' = R_1 = L (r_2) - R_2$$

 $H' = R_1 = L' (r_2) - R_2$

где R и R — пормальные напряжения на граничных цилиндрических поверхностях $r=r_1$ и $r=r_2$.

Если в деформированной трубе возникают обе области растяженных и сжатых нитей, то можно принять что труба состоит из двух различных слоев. Тогда для постоянных H и H из граничных условия равенства напряжений на разделяющей поверхности областей растяженных и сжатых нитей получаем [4]

ec∧# /. < 1

$$H^-=R_1$$
 $H^-=R_1-L^+(r_0)=R_2+L^-(r_2)$ если $\lambda>1$

$$H = R_1$$

 $H = R_1 - L^-(r_0) = R_1 + L^-(r_0)$

 В качестве другого примера рассмотрим задачу пилиндрического изгиба прямоугольного параллелепипеда из рассматриваемого армированного материала.

Пусть параллеленияед в недеформированном состоянии ограничен плоскостями

$$x_1 = a_1, \qquad x_2 = a \qquad (a_1 - a_2)$$

$$x_3 = b_1 \qquad \vdots \qquad \vdots$$

Здесь $(\theta_1, \theta_2, \theta_3) = (x_1, x_2, x_3)$ прямоугольные декартовы координаты недеформированного состояния, где нити имеют направление оси x_3 .

Пусть параллеленинед деформируется симметрично относительно оси x_1 так, что

- а) каждая плоскость, нормальная к оси x_1 , после деформации становится частью круглой цилиндрической поверхности с осью x_3 :
- б) плоскости, перионачально нормальные к оси x_4 , в деформиронациом состоянии проходят через ось x_3 ;
- и) в направлении оси x_3 происходит равномерное растяжение с коэффициентом ℓ_1

Для определения деформированного состояния выберем систему цилипарических полярных координат (r, θ, q_0) . Тогда координаты точки педеформированного состояния выражаются [1]

$$x_1 = \frac{1}{2}Ar^2 + B$$
, $x_2 = \frac{M}{A}$, $x_3 = \frac{y_3}{A}$ (3.1)

гле

$$A = \frac{4a}{r^2} \qquad B = \frac{a_2 r_1 - a_1}{r_1^2} \qquad a = \frac{a_1 - a_2}{2} \tag{3.2}$$

и радиусы граничных цилиндрических понерхностей деформированного тела определяем на тензорного преобразонания

$$\frac{\partial h^m}{\partial x_n} \frac{\partial x_n}{\partial x_n} \stackrel{\text{den}}{=} \frac{A^2}{t^2} \qquad \frac{A^2}{2t^2} (G_{-} - x_n)$$

Подставляя сюда $G_{22} = r$ и $g_{**} = r' A' [1]$, получаем

$$\tau_2 = \frac{1}{2} \left(\frac{A^{-2}}{i^2} - 1 \right) \tag{3.3}$$

Из (3.3) и (1.7) находим радиус цилиндрической поверхности, разделяющей области растяженных и сжатых нитей

$$r_0 = \frac{1}{4} \tag{3.4}$$

В рассматриваемой задаче возможны следующие пиды деформированного состояния:

- в) если $r_n > \frac{\lambda}{A}$, то все нити в деформиропанном теле растягива
 - б) если r₁ < _ то нсе нити сжимаются;
- в) если $\frac{1}{A}$ r_m , го инти, расположенные в области, заключенной между поверхностями r_1 и r_2 , растягиваются, а в остальной части тела нити сжимаются.

Для области растяженных питей компоненты тензора напряжения определяются из (4), (5) и (6)

$$\tau_{+}^{11} = \frac{1}{A^{2}r^{2}} \Phi^{+} + \left(\frac{\lambda^{2}}{A^{2}r^{2}} + \frac{1}{\lambda^{2}}\right) \Psi^{+} + p^{+}$$

$$\tau_{+}^{22} = \frac{A^{2}}{\lambda^{2}} \Phi^{+} + \left(A^{2} + \frac{1}{\lambda^{2}r^{2}}\right) \Psi^{+} + \frac{1}{r^{2}} p^{+} + \frac{A^{2}}{\lambda^{2}} \Theta^{+}$$

$$\tau_{-}^{11} = \lambda^{2} \Phi^{+} + \left(\frac{\lambda^{2}}{A^{2}r^{2}} + A^{2}r^{2}\right) \Psi^{+} + p^{+}$$

$$\tau_{-}^{23} = \tau_{-}^{31} = \tau_{-}^{32} = 0$$
(3.5)

Уракнения равновесия и данном случае имеют вид

$$\frac{dr}{dr} - + \frac{1}{r} = 0; \quad \frac{d\rho}{d\theta} = \frac{dp^{-}}{du} = 0$$
 (3.6)

После интегрирования перного уравнения (3.6) находим

$$p^{+} = -\frac{1}{A^{2}r^{2}}\Phi^{+} - \left(\frac{\lambda^{2}}{A^{2}r^{2}} + \frac{1}{\lambda^{2}}\right)\Psi^{+} - L^{+}(r) = H^{+}$$
 (3.7)

где Н постоянная

$$\overline{L}^{+}(r) = \int_{r_{\alpha}}^{r} \left[\left(\frac{A^{2}r}{\lambda^{2}} - \frac{1}{A^{2}r^{3}} \right) (\Phi^{+} - i^{2} \Psi^{-}) + \frac{A^{2}r}{i^{2}} \Theta^{-} \right] dr$$

 $r=r_1$, если все нити растягиваются, и $r_1=r_0$ при наличии в теле обенх областей растяженных и сжатых нитей.

Так как $\frac{dl_1}{dr} = \frac{1}{r} \frac{dl_2}{dr} = 2\left(\frac{A^2r}{L^2} - \frac{1}{A^2r}\right)$ [1] и $\frac{dK_1}{dr} = \frac{d\gamma_{r2}}{dr} = \frac{A^2r}{2}$ (следует из (3.3)), то

$$L^{-}(r) = \int_{r_{a}}^{r} \left(\frac{\partial W}{\partial I_{1}} \frac{dI_{1}}{dr} + \frac{\partial W}{\partial I_{2}} \frac{dI_{2}}{dr} - \frac{\partial W}{\partial K_{1}} \frac{\partial K_{1}}{dr} \right) dr = W^{-}(r) - W^{+}(r_{a})$$

$$(3.8)$$

Подставляя значение p^+ из (3.7) в выражения (3.5), получим

$$U(r) = W(r) - W(r_{-}) + H$$

$$= \frac{dW}{dr}$$

$$U(r) = \frac{1}{A^{2}r^{2}} \left(\frac{1}{1} - \frac{A - r}{2} \right)$$

$$= \frac{1}{r^{2}} + \frac{1}{r^{2}} = \frac{1}{r^{2}} = 0$$
(3.9)

В области сжатых интей напряжения выражаются аналогичным образом.

Если после деформации все нити в геле растигинаются (сжимаются), то постоянная H (H) определяется

$$H = R_1 = W_-(r_1) - W_-(r_2) - R_1$$

 $H = R_1 - W_-(r_2) - W_-(r_2) - R_2$

где R_1 и R_2 — кормальные напряжения на граничных поверхностях $r=r_1$ и $r=r_2$ соответственно.

При наличик обеих областей растяженных и сжатых нитей принимается, что тело состоит из днух слоев. Тогда для определения постоянных H и H получаем [5]

$$H = R_1$$
 $H^- = R_1 = W^-(r_0) - W^-(r_2)$

Пользуясь случаем, автор выражает глубокую благодарность К. С. Чобаняну за полезвые советы.

Институт интемптики и механкан АН Арминской ССР

Поступнав 7 V 1970

D. B. IFTESUBILL

ԱՌԱԶԳԱԿԱՆ ԹԵԼԵՐԻ ՄԻԱՌԻՂՎԱԾ ՀԱՄԱԿԱՐԳՈՎ ԱՄԲԱՑ-ՎԱԾ ԱՆՈՒՀՄԵԼԻ ԱՌԱՉԳԱԿԱՆ ՄԱՐՄՆԻ ՄԵԾ ԳԵՖՈՐ_ ՄԱՑԻԱՆԵՐԸ

ամուր ոչ առաձգականու լան իկան հայաստակած թերեաստ ասի ում է առ ան նրու դ պատրասաված թերերել միջավայրի մի դանի Թելերն չատ անկ թարձր Բլան մողուլ, լան չրջապատող նյանիր Մեէ, որ նչված թենադրան Դիտարկվում են դասաստան ուղղակելան ինակրի ռաքականական և ացված դլանային խողովակի ձգման ա սիմհարիկ ընդարձակման և գուղահասանիստի դլանա ձաման ինդիրները,

LARGE DEFORMATIONS OF AN INCOMPRESSIBLE ELASTIC BODY REINFORCED WITH ONE-DIRECTIONAL STRUCTURE OF THIN ELASTIC FIBRES

R. E MKRTCHIAN

Summary

Some properties of a continuous incompressible elastic body reinted with a strictly one-directional structure of thin elastic fibres are investigated on the basis of the general nonlinear theory of elasticity. The fibres have a much higher modulus of elasticity than the surrounding material. The resistance of the material to deformation of tension and compression along the fibres is assumed to be different.

The problems of tension and symmetric expansion of a circular cylindrical tube and of cylindrical flexure of a cuboid, both reinforced in one direction, are dealt with as well.

AHTEPATSPA

- I. Green A. E., Zerna W. Theoretical Elasticity Clarendon Press, Oxford, 1954.
- 2 Грин А. Б. Аджинс Дж. Большие упругие деформации и исличенныя механика силошной ереды. Инд. Мир. М., 1965.
- 3 Союн А. С. О связи между деформациями и напряжаннями для розпосопротивая: щегося на растяжение и сжитие композиционного митериала строго одноноправденной структуры. Изв. АН Арм ССР, серия тохи, паук, г. XIX, № 6, 1966.
- 1 Чобания К. С., Миртиян Р. Е. Общие решения задач консчиму упругих деформаций для растижения, раздупания и кручения составных труб. Изв. АН Арм. ССР, Механика, т. ХХ, № 2, 1967.
- 5 И муля Р. Е. Задача больших упругих деформаций для изгиба составного парадо-сепинеда из вестимаемых материалов. Иля АН Арм. ССР, Механика. v. XXII, № 2, 1969.

О В. БУГРИМ Е С. СИНАЙСКИЙ

К РЕШЕНИЮ ЗАДАЧ ПОАЗУЧЕСТИ НАСЛЕДСТВЕННО СТАРЕЮЩЕГО ТЕЛА

1. Следуя теории наследственного старения [1] в качестве исходиого физического соотношения между деформацией = (t) и напряжения = (t) и одномерном случае примсм

$$E(t) \circ (t) = (1 + K^*) \circ (t)$$
 han $o(t) = (1 - K^*) E(t) \circ (t)$ (1.1)

Aля операторов K^* и R^* имеет место

$$(1+K^*)^{-1} = 1-R^*, \quad H^*f(t) = \int_{t_0}^{t} H(t, z) f(z) dz$$
 (1.2)

E(t) — зависящий от времени t модуль упругости в форме

$$E(t) = E_0 \cdot (t) = E_0 [1 - \gamma(t)], \quad 0 < \gamma < 1, \quad \gamma(\infty) = 0$$
 (1.3)

 t_0 — момент начала загружения.

В предположении неизменности коэффициента Пуассова во времени (у - const) исходными физическими уравнениями для наследствено стареющего тела, обобщающими (1.1) на случай пространственног напряженного состояния, будут [1, 2, 3]

$$(1-R^*) E(t) = (1-t) = -t$$
 i, j, k=1, 2, 3 (1.4)

зи и составляющие деформации и напряжения соответственый символ Кронекера. По дважды повторяющемуся индексу пыпод няется суммирование.

Граничные условия примем в виде

$$a_{ij} n_i = T_i^*$$
 Ha $u_i = u^*$ Ha $u_i^* = u^*$

где S_T и S_u — части поверхности тела, на которых заданы соотвестиенно усилня $T_i^*(t)$ и перемещения $u_i^*(t)$ (в частности. S_T или могут отсутствовать), $n_i = \cos{(n_i x_i)}$, $n_i = \log n_i x_i$

Ввиду (1.3) и переставимости дифференциальных операций и координате с интегральными по времени основные соотношения, нео ходимые для полного описания напряженного и деформированного состояния рассматриваемого теля, можно представить в следующи форме:

обобщенный закон Гука

$$E = -(1 + v) \sigma_{ij} - v \sigma_{kk} \hat{\sigma}_{ij} \tag{1.6}$$

ураниения ранновесия

$$s_{i,j} + F_i = 0 ag{1.7}$$

геометрические соотношения Коши

$$\tilde{z}_{ij} = \frac{1}{2} (y_{i,j} + y_{j,j})$$
 (1.8)

граничные услокия

$$\mathbf{s}_{il} \mathbf{n}_i = T_l^* \text{ Ha } S_{T_l}, \quad \mathbf{y}_l = \mathbf{y}_l^* \text{ Ha } S_u \tag{1.9}$$

Здесь

$$y_{i,j} = \partial y_i / \partial x_j, \quad z_{i_{l,j}} = \partial z_{i_j} / \partial x_j, \quad y_i' = (1 - R^*) \cdot (t) u.$$

$$(1.10)$$

Рассматривается кназистатический случай—инерционные члены в уравнениях равновесия опущены.

Система (1.6) (1.9) содержит время t неявно и качестве паражетра и по форме сонпадает с основной системой уравнений соответствующей упругой задачи. Отличием является лишь то, что входящие в исходные уравнения аналогичной упругой задачи деформации и веремещения u, заменены и ней обобщенными деформациями u и обобщенными перемещениями y_t соответственно. Поэтому решение задачи ползучести наследственно стареющего тела, подчиняющегося (1.4), с граничными условиями (1.5) может быть образовано из решения соответствующей упругой задачи заменой и нем величии z_{tt} u_{tt} , u_{tt} , u

$$\mathbf{z}_{ij} = \frac{1}{\mathbf{z}_{(i)}} (1 - K^*) \, \xi_{ij}, \quad \mathbf{w} = \frac{1}{\mathbf{z}_{(i)}} (1 - K^*) \, \mathbf{y}_i$$
 (1.11)

Составляющие напряжения 🐈 определяются на уравнений (1.6)

$$v_{ij} = 2G_0v_{ij} + v_0v_{ij}, \quad G_0 = E_0/(2-2v), \quad v_0 = 2G_0v/(1-2v)$$
 (1.12)

Принеденные наключения предстанляют париант изложения принцина Вольтерра [2], обобщенного Н. Х. Арутюняном [1] на случай наследственно стареющих материалон.

В задачах полнучести, в которых граничные условия не допускаыт формулировку определяющих уравнений в терминах обобщенных веремещений y_i и деформаций \hat{z}_{ij} (например. в случае упруго-податливых снязей на границе), отмеченная апалогия с упругой задачей не имеет места. Решение таких задач при пеннаривитных во времени варах наследственности $K(t, \cdot)$ представляет известные трудности, новможный путь преодоления которых продемонстрирован ниже на задаче о прогибе наследственно стареющей пластники на упругом основании при специальном выборе ядра $K(t, \cdot)$.

2. Примем в качестве ядра наследственной ползучести

$$K(t, \tau) = \pi(t_0) \, \Im_{\bullet} \left(2; \, \tau(t) - \tau(\tau) \right) \, \tau'(\tau) \tag{2.1}$$

где

$$z(t) = t - \frac{A}{t+B}$$
 $(A > 0), \quad z(t) = \frac{dz(t)}{dz}$ (2.2)

Э (% z) — экспонента дробного порядка Ю. Н. Работнова [2]

$$\partial_{x}(\beta; z) = \sum_{n=1}^{\infty} \frac{\beta}{\prod_{i=1}^{n} (n-1)} \quad (0 < r = 1 + z, \beta < 0)$$
(2.3)

 $A,\ B,\ z,\ 3,\ x=x(t_0)$ определяемые из опыта реологические параметры.

Введением по А. Р. Ржаницыну [3] условного времени ядро (2.1) преобразуется к разностному. Полагая

$$\hat{\beta} = \varphi(t) - \varphi(t_0), \quad \mathbf{s} = \varphi(t) - \varphi(t_0) \tag{2.4}$$

получим (1.1) в виде

$$\gamma(t) = [1 - 2\theta_1] \beta_1 = (t) \text{ han } \alpha(t) = [1 - 2\theta_1] (\beta_1)] \gamma(t)$$
 (2.5)

Здесь

$$\mathfrak{I}(\beta) f(t) = \int \mathfrak{I}(\beta, s) f_1(\beta - s) ds \qquad (2.6)$$

 $\chi(t)=E(t)\,z(t),$ $f_1=3-\int_{1}(z)=f[t(z)],$ зависимость t(z) достанляется решением $z=\varphi(t)=z(t_0)$ относительно t.

Представление исходных соотношений в форме (2.5) допускает эффективное использование алгебры операторов Э (3), свойства которых хорошо изучены [2, 4]. В частности, в (2.5) учтено соотношение [2]

$$[1 + x \Im_{\alpha}^{\alpha}(\beta)]^{-1} = 1 - x \Im_{\alpha}^{\alpha}(\beta_{\alpha})$$
 (2.7)

Ядро K(t, t) в форме (2.1) — положительная монотонно убывающая с ростом t = t функция, асимптотически стремящаяся к вулю. В момент t = t при обладает слабой особенностью типа Абеля. С ростой t = t функция влияния K(t, t) приближается к инвариантному во премени ядру $K(t = t) = x \Im (3; t = t)$, характеризующему упруго-наследственную реакцию материала. Множитель $x(t_0)$ в (2.1) определяет предельное значение деформации ползучести и согласно

испериментам с увеличением t_i убывает. Винду (2.4) таким же образом ври $t-t_0$ соязт ведет себя условное премя t. Это приводит к тому, что более поздним можентам начала загружения при $t-t_0$ соязт отпечает меньшее значение функции ползучести $K=1-\epsilon(t_0)$ Э° (3) 1. Особенно интенечино втот процесс старения происходит и раннем позрасте при малых значениях — Старение материяла характеринуется также монотонно нозрастающим модулем упругости E(t) (1.3).

Кривые простой поллучести (2 соиз1), соотпетствующие различным началям загружения t_0 , в случае ядра (2.1) не обладнют полобием. Последнее имеет место лишь на участиях, соотпетствующих достаточно большим ливчениям t.

Таким образом, ядро K(t, z) и форме (2.1) описывает основиые сиойства упруго-ползучего материала, обладающего наследственностью и старением [1].

Реологические параметры, иходищие в (2.11, можно получить в результате обработки трех кривых простой ползучести, построенных для трех различных моментов начала загружения to (t=1, 2, 3).

С учетом соотношения [4] $\lim_{t\to\infty} \Im^*(v) \cdot 1 = -1/v$ при v=0 и t=0

$$\chi(\alpha) = (1 - \epsilon/3) z_{\alpha} \tag{2.8}$$

Предельные значения $\gamma_{t}(t)$ синмаются с графиков зависимостей $\gamma_{t}(t)=E(t)$; (t) прлученных по экспериментальным криным для $\tau_{t}(t)$ и E(t). Из (2.8) непосредственно следуют отношения

$$\frac{\mathbf{z}(t_{-1})}{\mathbf{x}(t_{-1})} = \frac{1 - \gamma_{i, t_{-1}}}{1 - \gamma_{i, j}(\infty)} \quad i, \ j = 1, 2, 3$$

$$i = j$$
(2.9)

Пусть $t_1 > t_2 -$ относищиеся к трем различным кривым $\chi_t(t)$ моменты времени, реализующие условие

$$\varphi(t_1) - \varphi(t_0) = \varphi(t_0) - \varphi(t_0) - \varphi(t_0) - \varphi(t_0) \qquad (2.10)$$

С учетом (2.5) н (2.6) явилу (2.10) имеем

$$[\chi_1(t_1), s_0 - 1]/ \times (t_{01}) = [\chi_2(t_2), s_0 - 1]/ \times (t_{02}) = [\chi_1(t_2), s_0 - 1]/ \times (t_{03})$$
(2.11)

Если момент t_1 выбрать произнольно, то моменты t_2 и t_3 впределяются из соотношений (2.11) с непользованием (2.9) по графикам зависимостей $\chi_{\epsilon}(t)$ и $\chi_{\epsilon}(t)$ соотнетегненно.

Диа уравнения (2.10) определяют параметры А и В, характеризующие старение наследственной реакции материала.

Параметры в, 7. выску быть определены натем по любой из приных 7.(1) по формулам, установленным в работе [5].

Обработка серии кривых простои ползучести бетона (z=1) [6] с началами загружения $t_{01}=3$, $t_{02}=7$, $t_{31}=28$ суток дала следующие значения параметров

A 191
$$cym^2$$
, $B = 4.6 \ cym$, $z = -0.1 \ cym$, $t = -0.0266 \ cym$, $x(t_{01}) = 0.295$, $x(t_{02}) = 0.226$, $x(t_{01}) = 0.114 \ cym^{-1/4}$.

В табл. 1 приведено сравнение экспериментально полученных д (I) с вычисленными по первому уравнению (2.5) при найденных значения параметров. Совпадение результатов удоплетворительное.

_			Таблица 1							
1	(сутни)	3	5	7	14	28	60	90	150	210
73 12 13	pacuer oner pacuer oner pacuer ouer	1	2.66 2.8	3.61 3.5 1	5.37 5.8 3.1 3.4	7.1 7.9 4.81 5.0	9.04 9.2 6.74 6.3 3.06 3.0	10.0 10 7.67 7.4 3.89 3.70	10,96 11,7 8,56 8,5 4,64 4,5	11.4 12.1 8.92 9.2 4.93 4.9

3. Рассмотрим задачу об изгибе пластинки на упругом основани под действием поперечной нагрузки и предположении, что материа пластинки наследственно стареет по закону (1.1). Определяющее уравнение для прогиба и образуется так же, как и в упругом случае [7] и имеет вид

$$D_0(1 - R^*) \zeta(t) Lw = q - kw$$
(3.1)

Здесь L динейный дифференциальный оператор по координатам, q интепсивность поперечной нагрузки, k коэффициент постели, цилипарическая жесткость $D_n = 1/12 \ E_0 h^3/(1-v^2)$. h — толщина пластипки.

В случае ядра наследственности (2.1) с учетом (1.2), (1.3) и (2.5) уравнение (3.1) принимает форму

$$D_0 Lw - k [1 \quad \forall \exists \quad (\exists) [w - [1 \quad \forall \exists \downarrow (\exists) [q \quad D_0 \gamma (t) Lw \quad (3.2)]$$

В нуменом приближении можно пренебрачь изменением во пременымодуля упругости и положить $E(t)=E_{\parallel}$ (1 = 1 $\parallel \gamma = 0$). Ввиду (2.7) имеем из (3.2)

$$D_0[1 - x \partial_1^*(\beta_1)] Lw_0 + kw_0 = q$$
 (3.3)

Согласно принципу Вольтерра [2] решение (3.3) получается и упругого решения задачи [7] заменой и последнем жесткости D е операторным аналогом D_0 [1—2 Θ , (3,)] с последующей расшифровкої по известным правилам [2] образовавшейся рациональной функции оператора Θ (3,).

В частности, в случае равномерно распределенной нагрузки интенсивности q(t) для прогиби прямоугольной пластинки согласно [7] (стр. 304) имеем

$$w_r = \sum_{n=1}^{\infty} A_{n,n}(x, y) [1 - s_{nn} \hat{\beta}_q^*(\hat{\beta}_{nn})] q(t)$$
 (3.4)

3 sect

$$Q_{mn} = \frac{\sin \frac{m\pi x}{a} \sin \frac{n\pi y}{b}}{mn \left[\pi^4 D_0 \left(\frac{m^2}{a^2} + \frac{n^2}{b^2} \right)^2 + k \right]}, \quad x_{mn} = \frac{\pi^4 D_0 \left(\frac{m^2}{a^2} + \frac{n^2}{b^2} \right)^2 \times \pi^4 D_0 \left(\frac{m^2}{a^2} + \frac{n^2}{b^2} \right)^2 \times$$

м = 3 - ч_{мл}, остальные обозначения те же, что в работе [7].

Переход от истинного премени в условному 9 и обратно обесполивают соотношения (2.4) и (2.6).

Последовательно для p-приближения ($p=1, 2, \cdots$) получаем

$$D_0 l.w_p + k [1 + i \Theta_0^*(\beta)] w_p = [1 - i \Theta_0^*(\beta)] q + D_0^*(t) Lw_{p-1}$$
 (3.5)

Решение (3.5) осуществляется так же, как решение (3.3)

$$\omega_{p} = \sum_{m, n=1, 3, 5, \dots} Q_{nm}(x, y) [1 + (3.6)] q_{\mu}(t)$$
 (3.6)

$$q_{\rho}(t) = q(t) + D_0[1 - z \vartheta^*(\rho) \mid \gamma(t) L w_{\sigma, 1}$$
(3.7)

 $m{A}$ ля погрешностей Δw_j ($j=0,\; \mu$) из уранцений (3.2), (3.3) и (3.5)

$$D_0 L \Delta w_0 - k [1 - 2\beta'(v)] \Delta w_0 = D_{01}(t) L$$
(3.8)

$$D_{n}L\Delta w_{n} = k \left[1 + x \partial_{x}(y)\right] \Delta w_{n} = D_{0}\gamma(t) L\Delta w_{n}$$
(3.9)

Правые части (3.8) и (3.9) играют роль нагрузок, вызывающих врогибы Δw_0 и Δw_1 соотнетственно.

Для каждого момента t прогиб Δw_0 пропорционален t. Следонательно, $\Delta w \sim t^{d-1}$. Параметр t. 1 быстро убывает со временем. Например, для бетона в повраете t=6 суток $t \ge 0.4$, при t=10 суток $t \ge 0.2$ [6]. Поэтому имеющая место сходимость процесса приближений с уреличением t ускоряется.

Квадратуры, входящие и (3.6) и (3.7), могуть быть реализонаны часлению. Соотношения (2.3) и (2.6) обеспечивают представление

$$\mathfrak{D}_{\mathfrak{a}}^{*}(\mathfrak{F})f(t) = \mathfrak{G}^{r} \int_{-\pi}^{t} x^{\mathfrak{a}} F_{1}(x, -\mathfrak{F}^{r}) f_{1}(\theta - \theta x) dx \qquad (3.10)$$

rac

$$F_{\pm}(z, z) = \sum_{n=0}^{\infty} \frac{(-z)}{\Gamma[(z+1)(n+1)]}$$

Винсление (3.10) осущестнаяется приближенно по формуле

$$\vartheta_a'(r) f(t) \approx \theta' \sum_{k=1}^{\infty} A_k F_1(\ldots - \vartheta \theta' x_k') f_1(\theta - \theta x_k)$$

Коэффициенты A_i и узлы интерполяции x_i приведены в кня [8], таблицы эпачений функции $F_1(z, z)$ содержатся и работе [9]. Анторы благолариы М. И. Розовскому за обсуждение работи.

Диспроистром вий гарный миститут

Hoeryman 5 VI 1

0 Վ. ԵՊԵԳՐԵՄ, Ն. Ա ՈՒՆԱՑՍԿԻ

ՎԳԺՆԳՐԵՆՔ ՎԳՐԳԱ ՎԵՐԻՍԻ ՐՈՐԱԿՈԾ ԵՖԻՍՔԵԱԿԱՍԵ ԳԶԳՐՈԾ ՀԱՐՄԵՐՈՍ

de of the first of

Մասանաարիվում է հրակիտալին հավասարումների և արան պատմանրի պոնցումածգական ձևակերպում քնայրաարող, ձերացող մայան ժատանդական ապրի քննդիրների լաժման մեքույ՝ ասոնի դարձակը հանակից անկարիա քրան ենքադրաքի լաժման մեքույ՝ նշված ձևակերպումը ան չունի, ասաջարկվում է րստ մամանակի ու ինվարիանա մասանդակոն իկան տասակ կորիդ, պալմանական մամանակի ներմանմամը ձևակերպում է նա. Ն. Մարսանովի կուու-ակային կարդի է րազոնննապի հարանովի կուու-ակային կարդի է րազոնննապի հարանակ որինակ դիտարկված է առաձղական նիմըի վրա դանվող ձևրակող արև որինակ դիտարկված է առաձղական նիմըի վրա դանվող ձևրակող արև հոման ինցիրը։

ON THE HEREDITARY AGING BODY ANALYSIS FOR CREEP

O. V. BUGRIM, E. S. SINAYSKY

Summary

A special nonlineariable with respect to time heredity kernel is proposed for the description of creep of the hereditary aging body. The introduction of conditional time transforms this kernel into Rabotani fractional exponential function that allows to solve the problems hereditary aging creep by means of the hereditary clastic theory. The problem of bending of a hereditary aging plate on an elastic base is considered here as an illustration.

AHTEPATYPA

- 1. Арумюнян Н. Х. Непозиры вопролы теории полоучески. Гостох теориадот, М., 19.
- 2. Работнов Ю. Н. Подраченть заементов поистручный, Изд. Наува, М., 1966.
- 3. Ришинина Л. Р. Теория правучести. Стройнадат, М., 1968.
- 4. Розонения М. И. О лекоторых особенностих упруго-наследенных сред; Не-АН СССР, ОТН, Механиям и макиностроение, 1961, № 2.
- 5 Синайский Е. С. Об одном в обрабатки привых паспериментованной решени. Инж. ж. МТТ, 1967, № 6.

- Уамуний И. И., Русинов И. А. Экспериментальные исследования деформатияноспі бетона и жесткости железобетонных изгибаемых влементов при длительном вагружения. Сб. Строительные конструкции. Госстройиздат, УССР, 1959, вып. 13.
- 7. Тимошенко С. П., Войновскиц-Критер С. Пластицки и оболочки. Физматсия, М., 1963.
- 8. Яридов В. И., Шравтина А. 7. Справочная кинга по числовному интогрированию. Изд. Наука, М., 1966.
- Работнов Ю. Н., Паперник Л. Х., Заонов Е. Н. Таблицы дробновкеноненциальв функции этрин-тельных параметров и интеграла от нес. Изд. Наука, М., 1969.

Р. А. МЕЖАУМЯН, Р. Ш. СОЛОМОНЯН

МЕТОД ОПРЕДЕЛЕНИЯ НЕСТАЦИОНАРНОГО СКОСА; ПОТОКА ЗА КРЫЛОМ КОНЕЧНОГО РАЗМАХА ПРИ СВЕРХЗВУКОВОМ ДВИЖЕНИИ

Вопрос определения пестационарного скоса потока за крымов имест большое практическое значение при решении задачи устойчивости и управляемости крыдатого детательного аппарата, а также при определении аэродинамических карактеристик второго крыла детательпого анпарата системы "тандем". Аэродинамические характеристия второго крыла пыражаются через ское потока, создаваемого передия! крылом. Вопрос определения нестационарных авродинамических характеристик изолированного крыла рассмотрен и работах [1-3, 5]. В книгах [1, 5] даются общие формулы потенциал возмущений и аэроданамических характеристик крыла. Висдение коэффициентов враздателя: ных производных [2, 3] дает возможность доводить расчеты до числа. Вопрос определения пестаннопарного скоса потока рассмотрая в работех [4 7, 9]. В работе [6] анторы получили решение задачи п замкнутом ниде для скоса потока за профилем, совершающим сипусондальные колебания при мялых скоростях потока. В работах [4, 5, 9] дана общая постановка задачи об определении скоса потока на полеблющемся крыле. Автор работы [4] задачу ставит и допольно общем виде и решает для дозвукового движения. При сверхавуковой скорости он представляет ское потока чак сумму трех слагаемых и определяет одно на этих слагаемых у задней кромки крыла для милых чисел Струхаля.

В настоящей статье дано полное решение задачи определение скоса потока за крыдом для конечных значений числа Струхаля и линейной постановке на основе представления потенциала возмущений через коэффициенты вращательных производных.

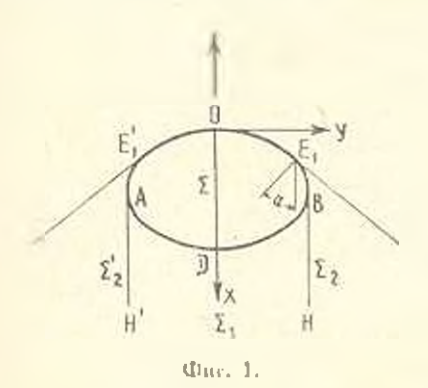
1. Постановки задачи. Рассмотрям движение тонкого слабоизогнутого крыла с малым углом атаки в идеальной жидкости при отсутствии внешних сил. Будем эчитать, что основное движение крыла является прямолинейным поступательным движением с постояния сверхзвуковой скоростью и Предположим также, что, кроме основного движения, крыло совершает малые добавочные неустановившиеся колебания. Движение считаем безвихревым, а кромки крыла сверхзвуковыми.

Впедем истему координат $Ox_1y_1z_1$, жество скрепленную с крылом, которое в плане имеет форму AOBDA (фиг. 1). Время обозначим через t_1 . В линейной теории эта задача сподится к решению волно-

ото уравнения, которое дано в работе [1] как запаздывающий потенпол источника, движущегося прямолинейно, с постоянной скоростью и с изменяющейся интенсивностью.

FACT
$$r = |\overline{(x_2 - \frac{\epsilon}{\epsilon_1})^2 - k^2(y_1 - y_0)^2 - k^2 x_1^2}, \quad k = |\overline{M^2 - 1}, \quad M = \frac{U}{\alpha} - \frac{1}{2}$$

число Маха, p =число Струхаля, b =характерный линейный размер хила хрыла), $x_1, y_1, z_1 =$ координаты той точки, в которой вычисляет-



ся потенциах. Область интегрирования $\delta(x_1, y_1, z_1)$ есть часть плостеги x_1y_1 , которая находится внутри обратного конуса ноамущений выршнюй в рассматриваемой точке. Потенциях возмущенных скоростей $\delta(x_1, y_1, z_1, t_1)$ представим при помощи коэффициентов вращательных производных [2, 4]:

$$\frac{1}{2}(x_1, y_1, z_1, t_1) = \frac{1}{2}(x_1, y_1, z_1) - \frac{1}{2} \frac{1}{1} q_1 + \frac{1}{2} q_1 + \frac{1}{2} q_1 + \frac{1}{2} q_1$$
(1.2)

В времстанления (1.2) обозначены

$$q_{1} = 2 = 2 (t_{1}) q_{2} = 0 U \frac{d}{U} = \frac{d}$$

где х переменная часть угла атаки, — — и проекции вектора угдоной скорости на соотцетствующие оси свизанной системы координат: а, m_{x_1} , — безразмерные угловые скорости, m_{x_1} , m_{y_2} — безразмерные угловые ускорения. Предпол. глется, что лти параметры являются малыми величивами по сравнению с едининей.

Аналогичным образом, предстаним через вращательные производные [4] нестационарный екос потока:

при симметричных движениях

$$\frac{V_{i}}{U} = z^{(1)} q_{1} + z^{(2)}_{1} q_{2} - z^{(1)} q_{1} + z^{(2)} q_{1}$$
 (1.4)

при антисимметричных движениях

$$= \epsilon_3^{(1)} q_1 \tag{1.5}$$

где V_{z_1} — составляя щая возмущенией скорости по паправлению оси oz_1 . В формулах (4.4) и (1.5) коэффициенты

$$\frac{1}{U}\frac{\partial}{\partial z_1} = \frac{1}{U}\frac{\partial}{\partial z_1} = (v - 1, 3, 4) \tag{1.6}$$

называются коэффициентами вращательных производных скосов, которые являются функциями чиссл Маха в Струхаля, а также координат точки, и которой вычисляются скосы, и не зависят от премени.

Предположим, что м лые д баночные колебания крыло совершвет по гармоническому закону, т. с. кипс. этические параметры зависят от времени следующим образом:

$$q_s = A e^{jp_s t_1}, \quad q_s = A, jp$$
 (v = 1, 3, 4) (1.7)

где j=1-1. .4 — амилитудные эн чения кинематических параметров, p_i — круговая частота, p'=-1 — число Струхаля.

В этом случає пыражение (1.2) пыставлит так:

$$(z_1, y_2, z_1, t_1) = \frac{\pi}{n_2} \sum_{i=1}^{n} A_i e^{j\pi t_i} \left[\dot{\gamma}_i^{(1)} + j p_i^* \dot{\varphi}_i^{(2)} \right]$$
 (1.8)

а нормальная производная потенциала позмущений

$$\frac{\partial \left(\mathbf{x}_{1} - \mu_{1} \cdot \mathbf{z}_{1}, t_{1}\right)}{\partial \mathbf{z}_{1}} = \frac{\partial \left(\mathbf{z}_{1} - \mathbf{z}_{1}\right)}{\partial \mathbf{z}_{1}} + \sum_{i} A_{i} = \frac{t_{1}}{2} \left| \frac{\partial \left(\mathbf{z}_{1}^{(i)}\right)}{\partial \mathbf{z}_{1}} + i \mu_{1}^{*} \frac{\partial \left(\mathbf{z}_{1}^{(i)}\right)}{\partial \mathbf{z}_{1}} \right|$$
(1.9)

Введем безразмерные координаты и время

$$x = \frac{2}{t}x_1, \quad y = \frac{2}{t}y_1, \quad z = \frac{2}{t}x_1, \quad t = \frac{U}{t}t_1$$

а также обозначения для неустановившейся части потенциала позмущений

$$\Phi^{(i)}(x, y, z) = \frac{2}{10} z^{(i)}(x, y, z), \quad \frac{\partial z^{(i)}}{\partial z} = \frac{2}{10} \frac{\partial z^{(i)}(x, y, z)}{\partial z}$$
(1.10)
(i = 1, 2; v = 1, 3, 4)

С учетом обозначений (1.10) подставим (1.8) и (1.9) и формулу (1.1), после чего приравняем множители при одноименных амплитудах А, и веделям действительные и мнимые части полученных выражений. В результате получаются следующие формулы и безраямерных декартовых координатах для всуст новиншейся части потенцияла возмущений:

$$\begin{aligned} \psi_{i}^{(1)}(x, y, z) &= -\frac{1}{\pi} \int_{(x, y, z)}^{x} \left\{ \left(\frac{\partial \Phi_{i}^{(1)}}{\partial z} \right)_{z=0} \cos \left[\frac{\lambda}{4} p_{i}^{*} \left(k + \frac{1}{k} \right) (x - \xi) \right] \right. \\ &+ p_{i}^{*} \left(\frac{\partial \Phi_{i}^{(2)}}{\partial z} \right)_{z=0} \sin \left[\frac{\lambda}{4} p_{i}^{*} \left(k + \frac{1}{k} \right) (x - \xi) \right] \right\} \times \\ &- \cos \left[\frac{1}{4} p_{i}^{*} \right] \left[k^{2} - 1 \right] \frac{p}{k^{2}} \left[\frac{\partial \xi d\eta}{\dot{r}} \right] \end{aligned}$$
(1.11)

$$\Phi^{(2)}(x; y, z) = -\frac{1}{\pi} \int_{(\langle x, y, z \rangle)}^{\infty} \left\{ \left(\frac{\partial \Phi^{(2)}_{\gamma}}{\partial z} \right)_{z=0} \cos \left[\frac{\lambda}{4} p_{\gamma}^{*} \left(k + \frac{1}{k} \right) (x - \xi) \right] - \frac{1}{p_{\gamma}^{*}} \left(\frac{\partial \Phi^{(1)}_{\gamma}}{\partial z} \right)_{z=0} \sin \left[\frac{\lambda}{4} p_{\gamma}^{*} \left(k + \frac{1}{k} \right) (x - \xi) \right] \right\} \times \\ \times \cos \left[\frac{\lambda}{4} p_{\gamma}^{*} + \frac{\lambda^{2} + 1}{k^{2} + 1} \frac{r}{k^{2}} \right] \frac{d^{2}d\eta}{r}$$

$$(1.12)$$

где $r = [\frac{1}{(x-1)^2} - (y-y)^2 - z^2]$. $k = \frac{I^2}{S}$ — относительное удлинение,

S. 1 плошадь и размах крыла.

Формулы (1.11) и (1.12) впервые получевы М. К. Фурсовым [10]. Если будут известны пормальные производные $\frac{\partial \phi^{(1)}}{\partial z}$ и $\frac{\partial \phi^{(2)}}{\partial z}$ в области интегрирования, то по формулзы (1.11) и (1.12) можно будет вычислить $\phi^{(1)}$ и $\phi^{(2)}$.

2. Граничные условия при гарманическом колебании. Нормальпые производные на илоспости хи определим из следующих граничных условий.

Впереди огибающей поверхности конусов позмущений с вершинами в точках передней кромки крыла воздух не возмущен, поэтому в каждой точке этой части пространства

$$\Phi^{(i)}(x, y, z) = 0, \quad \frac{\partial \Phi_{i}^{(i)}(x, y, z)}{\partial z} = 0 \quad (i = 1, 2; z = 1, 3, 4) \quad (2.1)$$

На поверхности крыла двиы свми нормальные произподные потенциада на условий иланного обтекания и предстаплиются в виде [1.3]:

$$\left| \frac{\partial \Phi_{1}^{(1)}(x, y, z)}{\partial z} \right| = \frac{1}{2} \left| \frac{\partial \Phi_{2}^{(1)}(x, y, z)}{\partial z} \right|_{z=0} = \frac{\partial y}{\partial z}$$

$$\left| \frac{\partial \Phi_{1}^{(1)}(x, y, z)}{\partial z} \right|_{z=0} = 0 \qquad (2.2)$$

$$\left| \frac{\partial \Phi_{1}^{(1)}(x, y, z)}{\partial z} \right|_{z=0} = 0$$

$$\left| \frac{\partial \Phi_{1}^{(1)}(x, y, z)}{\partial z} \right|_{z=0} = 0$$

Область, заключения между прямыми BH и AH (Γ_{i} на фиг. 1) и простирающаяся до бескопечности по направлению потока, начинаю от задней кромки, называется вихреной пеленой. Линки BH и AH параллельны направлению набегающего потока, а точки A и B суть концевые точки крыла. Из условия непрерывности давления на этой области получаются условия

$$\frac{\partial \Phi^{(1)}(x, y, 0)}{\partial x} = \frac{ik}{4} p^{-1} \Phi^{(1)}(x, y, 0) = 0$$

$$\frac{\partial \Phi^{(2)}(x, y, 0)}{\partial x} + \frac{ik}{4} \Phi_{\gamma}^{(1)}(x, y, 0) = 0$$
 (2.4)

Область — это часть плоскости му, находящейся внутра копуса Маха, с вершиной в точке E (E), вне михреной пелены и выполняются условия

$$\Phi^{(I)}(x, y, 0) = 0 \quad (i = 1, 2; y = 1, 3, 4)$$
 (2.5)

Для дальнейших расчетов удобнее условия (2.3) и (2.4) проинтегрировать и представить их в следующем виде:

$$\Phi_{+}^{(1)}(x, y, 0) = f^{(0)}(y) \cos \left[\frac{k}{4} p \left[x - z(y) \right] \right] + \frac{1}{4} p \left[x - \overline{\varphi}(y) \right]$$

$$(2.6)$$

$$\Phi^{(2)}(x, y, 0) = -\int_{0}^{(1)} \{y\} \sin^{\frac{1}{2}} p \left[x - \frac{\pi}{2}(y)\right] + f^{(2)}(y) \cos^{\frac{1}{2}k} p \left[x - \frac{\pi}{2}(y)\right] + (2.7)$$

где $x=\phi(y)$ — уравнение задней кромки крыла, а $f^{(1)}(y)$ и $f^{(2)}(y)$ навестные функции, равные значениям соответственно функций $\Phi^{(1)}$ и $\Phi^{(2)}$ на задней кромке крыла. Объединяя условия (2.5), (2.6) и (2.7), получим

$$\Phi \mathfrak{M}(x, y, 0) = G^{(i)}(x, y), \quad (i = 1, 2; \ \gamma = 1, 3, 4) \tag{2.8}$$

где $G^{(1)}$ обращаются в нуль для областей $-\epsilon$ и рапкім правым частям условин (2.6) и (2.7) для вихревой пелены.

3. Интегральные уравнения для определения нормальных произведных. Услония (2.8) дают ноэможность при помощи формул (1.11) и (1.12) составить интегральные уравнения для определения нормальных производных функции $\Phi_{i}^{(j)}(x,y,z)$. На плоскости xy возьмем некоторую точку M(x,y,0) и проведем из нее обратный копус Маха (фиг. 2). Высмотрим тот случай, когда следы конуса пересекаются с поверхностью крыла. В этом случае область интегрирования $\delta(x,y)$ состоит из областей: $s=s_0$ — на крыле, и f(x,y) — на вихревой пелене (фиг. 2). В области в пормальные производные известны. Их обозначим $B^{(j)}(x,y)$. На области в эти производные неизвестны.

они подлежат определению. Их обозначим $b_{i}^{(h)}(x, y)$.

В принятых обозначениях для точки M из формул (1.11) и (1.12) волучим следующую систему интегральных уравнений:

$$\int_{\mathbb{R}^{3}} \int_{\mathbb{R}^{3}} \left[\delta_{i}^{(1)}(\xi, \eta) \cos \left[\frac{h}{4} p_{i}^{*} \left(k + \frac{1}{k} \right) (x - \xi) \right] \cos \left[\frac{h}{4} p_{i}^{*} \right] \sqrt{k^{2} + 1} \frac{r}{k^{2}} \right] +$$

$$+ p_{i}^{*} \delta_{i}^{(2)}(\xi, \eta) \sin \left[\frac{h}{4} p_{i}^{*} \left(k + \frac{1}{k} \right) (x - \xi) \right] \times$$

$$\times \cos \left[\frac{h}{4} p_{i}^{*} V \overline{k^{2} + 1} \frac{r}{k^{2}} \right] \frac{d\xi d\eta}{r} = -\pi O_{i}^{(1)}(x, y) -$$

$$- \int_{\mathbb{R}^{3}} B_{i}^{(1)}(\xi, \eta) \cos \left[\frac{h}{4} p_{i}^{*} \left(k + \frac{1}{k} \right) (x - \xi) \right] \times$$

$$\times \cos \left[\frac{h}{4} p_{i}^{*} V \overline{k^{2} + 1} \frac{r}{k^{2}} \right] \frac{d\xi d\eta}{r}$$

$$\int_{\mathbb{R}^{3}} \left\{ b_{i}^{(2)}(\xi, \eta) \cos \left[\frac{h}{4} p_{i}^{*} \left(k + \frac{1}{k} \right) (x - \xi) \right] \times$$

$$\times \cos \left[\frac{h}{4} p_{i}^{*} V \overline{k^{2} + 1} \frac{r}{k^{2}} \right] - \frac{1}{p_{i}^{*}} b_{i}^{(1)}(\xi; \eta) \times$$

$$\times \cos \left[\frac{h}{4} p_{i}^{*} V \overline{k^{2} + 1} \frac{r}{k^{2}} \right] - \frac{1}{p_{i}^{*}} b_{i}^{(1)}(\xi; \eta) \times$$

$$\times \sin\left[\frac{\lambda}{4} p_{s}^{s}\left(k+\frac{1}{k}\right)(x-\xi)\right] \cos\left[\frac{\lambda}{4} p_{s}^{s}\sqrt{k^{2}+1} \frac{r}{k^{2}}\right] \left|\frac{d\xi d\eta}{r}\right| =$$

$$= -\pi G_{s}^{(2)}(x, y) - \int_{s(x,y)}^{\infty} B_{s}^{(1)}(\xi, \eta) \sin\left[\frac{\lambda}{4} p_{s}^{s}\left(k+\frac{1}{k}\right)(x-\xi)\right] \times$$

$$\times \cos\left[\frac{\lambda p_{s}^{s}}{4}\right] \left|k^{2}+1\frac{r}{k^{2}}\right| \frac{d\xi d\eta}{r}$$

$$(3.2)$$

В этой системе правые части являются известными функциями и решение ее ищем разложением подынтегральных функций обеих частей уравнений в ряд по степеням $=\frac{i\,k}{4}\,\rho^*$.

Предстаним произведения тригонометрических функций как сумму косипусон и синусон, потом разложим каждое слагаемое в ряд. После несложных вычислений получим

$$\cos \left[\frac{ik}{4}p_{*}^{*}\left(1+\frac{1}{k^{2}}\right)(x-\xi)\right]\cos \left[\frac{ik}{4}p_{*}^{*}\right]/\left[1+\frac{1}{k^{2}}\frac{r}{k^{2}}\right] =$$

$$= \sum_{n=0}^{\infty} \frac{(-1)^{n}}{(2n)!} A_{2n} \omega^{2n}$$

$$\sin \left[\frac{ik}{4}p_{*}^{*}\left(1+\frac{1}{k^{2}}\right)(x-\xi)\right]\cos \left[\frac{ik}{4}p_{*}^{*}\right]/\left[1+\frac{1}{k^{2}}\frac{r}{k^{2}}\right] =$$

$$= \frac{i1}{2}\left\{\sin \left[\frac{ik}{4}p_{*}^{*}\left(1+\frac{1}{k^{2}}\right)(x-\xi)+\frac{ik}{4}p_{*}^{*}\right]/\left[1+\frac{1}{k^{2}}\frac{r}{k^{2}}\right] +$$

$$+\sin \left[\frac{ik}{4}p_{*}^{*}\left(1+\frac{1}{k^{2}}\right)(x-\xi)-\frac{ik}{4}p_{*}^{*}\right]/\left[1+\frac{1}{k^{2}}\frac{r}{k^{2}}\right] +$$

$$= \sum_{n=0}^{\infty} \frac{(-1)^{n}}{(2n+1)!} A_{2n+1} \omega^{2n+1}$$
(3.4)

где

$$A_{2n} = \sum_{j=0}^{2n} C_{2n}^{2j} \left(1 + \frac{1}{k^2} \right)^{2n-j} (x-\xi)^{2(n-j)} \left(\frac{r}{k^2} \right)^{2j}$$
 (3.5)

$$A_{2n+1} = \sum_{j=0}^{2n+1} C_{2n+1}^{2j} \left(1 + \frac{1}{k^2}\right)^{2n+1-j} (x-\xi)^{2(n-j)+1} \left(\frac{r}{k^2}\right)^{2j}$$
(3.6)

 C_{2n}^{2j} и C_{2n+1}^{2j} — биномиальные коэффициенты.

Разложий функцию (с, ч) тоже в степеннов ряд

$$G_i^{(i)}(\xi, x) \Rightarrow \sum_{i=1}^{\infty} f_{i+1}^{(i)}(\xi, x) \Rightarrow (i-1, 2; y-1, 3, 4)$$
 (3.7)

Пережножим эти ряды, после чего получим

$$\frac{6^{(1)}(\xi, \eta) \cos \left| \frac{1}{k} - \frac{1}{k^2} \frac{\tau}{k^2} \right|}{\sum_{g=1}^{n} \left[\frac{(-1)^n}{2(n-g)} \right]!} \qquad (3.8)$$

$$\frac{1}{k} - \frac{1}{k^2} \left[\frac{1}{2(n-g)} \right]! \qquad (3.8)$$

$$\frac{1}{k} - \frac{1}{k^2} \left[\frac{1}{k} - \frac{1}{k} \right] \qquad (3.9)$$

ме $m = \frac{n}{2}$, если n — число четвое и $m = \frac{n-1}{2}$ если n — число не-

Живьогичным образом получаются разложения праных частей усдовий (2.6) и (2.7)

$$f^{(i)}(y) = \sum_{n=0}^{\infty} f^{(i)}_{\gamma,n}(y) \, \phi^n \quad (i = 1, 2; \ \nu = 1, 3, 4)$$
 (3.10)

$$\Phi^{(1)}(\mathbf{x}, \mathbf{y}, 0) = \sum_{n}^{\infty} m^{n} \sum_{n} \frac{(-1)^{n-n}}{[2(n-g)]!} f^{(1)}_{(-2g-n)}(\mathbf{y}) \{x - \overline{\varphi}(\mathbf{y})\}^{2(n-g)}$$

$$\Phi^{(1)}(\mathbf{x}, \mathbf{y}, 0) = -\frac{nk}{4} \sum_{n=0}^{\infty} m^{n} \sum_{n=0}^{\infty} \frac{(-1)^{n}}{[2(n-g)+1]!}$$

$$f^{(1)}_{(2g-n)}(\mathbf{y}) \{x - \overline{\varphi}(\mathbf{y})\} = \frac{(-1)^{n}}{[2(n-g)+1]!}$$

$$= \frac{(-1)^{n-g}}{[2(n-g)]!}$$

$$= \frac{(-1)^{n-g}}{[2(n-g)]!}$$

$$= \frac{(3.12)}{[3.12]}$$

Подстаг м ряды (3.8), (3.9), (3.11) и (3.12) и систему интегральных уравнений. Предполагая размомерную сходимость рядов (3.8) и (3.9) вносительно переменных ≥ и то после подстановки в систему (3.1) и 13.2), интегрируем их почлению. В результате получим

$$\sum_{n=0}^{\infty} w^{n} \sum_{n=m}^{n} \frac{(-1)^{n}}{[2(n-1)]!} = \frac{1}{\sqrt{k}} 2(n-q)-1 = \frac{d^{2}d^{3}}{(n-q)-1} = \frac{d^{2}d^{3}}{(n-q)} = \frac{d^{2}d^{$$

Сравнивая в уравнениях (3.13) и (3.14) коэффициенты при одинаковых степенях m, получим системы интегральных ураниений для определения ненавестных функций $b_{++}^{\mu\nu}(x,y)$

$$\iint \left\{ b_{i,n}^{(1)}(\xi, \eta) + \frac{4}{ik} \left(1 + \frac{1}{k^2} \right) (x - \xi) - (\xi, \eta) \right\} \stackrel{\leftarrow}{\longrightarrow} =$$

$$\iint \left\{ \left[b_{i,n}^{(1)}(\xi, \eta) + \frac{4}{ik} \left(1 + \frac{1}{k^2} \right) (x - \xi) - (\xi, \eta) \right] \stackrel{\leftarrow}{\longrightarrow} =$$

$$\left[(3.15) + \frac{4}{ik} \left(1 + \frac{1}{k^2} \right) (x - \xi) - (\xi, \eta) \right] \stackrel{\leftarrow}{\longrightarrow} =$$

$$\left[(3.15) + \frac{4}{ik} \left(1 + \frac{1}{k^2} \right) (x - \xi) - (\xi, \eta) \right] \stackrel{\leftarrow}{\longrightarrow} =$$

$$\left[(3.16) + \frac{4}{ik} \left(1 + \frac{1}{ik^2} \right) (x - \xi) - (\xi, \eta) \right] \stackrel{\leftarrow}{\longrightarrow} =$$

$$\left[(3.16) + \frac{4}{ik} \left(1 + \frac{1}{ik^2} \right) (x - \xi) - (\xi, \eta) \right] \stackrel{\leftarrow}{\longrightarrow} =$$

где обозначены

$$= \frac{1}{2^{n-n}} - \frac{1}{2^{n-$$

$$\frac{4\pi}{k} \sum_{y=-m} \frac{1}{2(n-1)} \left[x - \frac{1}{2} \left(y \right) \right]^{2(n-g)} f^{(1)}_{2(n-g)} \left[y \right] \qquad (y) \qquad (3.17)$$

$$\frac{1}{2(n-g)+1} A_{\pi(n-g)-1} f^{(1)}_{\pi} \qquad \left[\frac{\alpha \xi \alpha \eta}{2(n-g)+1} \int_{x(x,y)}^{\infty} A_{2(n-g)-1} f^{(1)}_{\pi} \right] \qquad (y) \qquad (3.18)$$

$$\frac{1}{2(n-g)+1} \int_{x(x,y)}^{\infty} A_{2(n-g)-1} f^{(1)}_{\pi} \qquad \left[\frac{\alpha \xi \alpha \eta}{2(n-g)-1} f^{(1)}_{\pi} \right] \qquad (y) \qquad (x-\varphi(y))^{2(n-g)} f^{(2)}_{2g-n} (y)$$

Как видно, уравнение (3.17) справодливо для n = 2, а (3.18) — для n > 1.

Приранникая пуленые степени и уравнениях (3.13) и (3.14), получим систему для определения $G^{(1)}$ и $G^{(2)}$

$$\int_{\mathbb{R}(x,y)}^{\mathbb{R}(x,y)} \frac{d\vec{z}d\eta}{r} = -\int_{\mathbb{R}(x,y)}^{\mathbb{R}(x,y)} \frac{d\vec{z}d\eta}{r} = \pi f_{\lambda=0}^{(1)}(y) \quad (3.19)$$

$$\int_{\mathbb{R}(x,y)}^{\mathbb{R}(x,y)} \frac{f_{\lambda_{\lambda},0}^{(2)}(\xi_{\lambda},\eta_{\lambda}) - \frac{k}{4} \left(1 - \frac{1}{k^{2}}\right)(x-\xi) f_{\lambda_{\lambda},0}^{(1)}(\xi_{\lambda},\eta_{\lambda}) \left[\frac{d\vec{z}d\eta_{\lambda}}{r} - \frac{1}{k^{2}}\int_{\mathbb{R}(x,y)}^{\mathbb{R}(x,y)} f_{\lambda_{\lambda},y}^{(1)}(x-\xi) f_{\lambda_{\lambda},y}^{(1)}(y) - \frac{d\vec{z}d\eta_{\lambda}}{r} - \frac{1}{k^{2}}\int_{\mathbb{R}(x,y)}^{\mathbb{R}(x,y)} f_{\lambda_{\lambda},y}^{(1)}(y) + \pi f_{\lambda_{\lambda},y}^{(1)}(y) \quad (3.20)$$

Аналогичным образом, приравнивая коэффициенты при перпой отспени «, получим

$$\int_{s(x,y)}^{\infty} \theta_{v,1}^{(1)}(\xi, \tau_i) \frac{d\xi d\eta}{r} = \int_{s(x,y)}^{\infty} B_v^{(1)}(\xi, \tau_i) \frac{d\xi d\eta}{r} - \epsilon f_{v,1}^{(1)}(y) \quad (3.21)$$

Как легко заметить, функции $\theta^{(1)}$, и определяются независимо от других функций $\theta^{(1)}$ соответственно ил уравнений (3.19) и (3.21). После подстановки значения $\theta^{(1)}$, в уравнение (3.20) можно опреде-

лить На уравнения (3.15) виде предваждений предваждений уравнений. Подставляя решение уравнения (3.15), т. е. фулкцию 11, и уравнение (3.16), получи новое уравнение относительно фулкции 6.

Таким образом, можно ату систему представить и инде

$$\int_{-\infty}^{\infty} f_{i,n}^{(0)}(\xi, \tau) = - F^{(0)}(x, y)$$
 (3.2)

$$\iint_{\mathbb{R}^{2}} F_{-}(x, y) = F_{-}(x, y) \tag{3.23}$$

наченые обозначены

$$F^{(1)}_{a}(x,y) = F^{(1)}_{a}(x,y) = \frac{1}{r} \left(1 - \frac{1}{r}\right) \int_{-r}^{(1)} (x,y) dx dx$$

$$(3.2)$$

Аналогичным образом уравнение (3.20) тоже можно видонамения. Таким образом, можно определить нее козфициенты разложения (3.7). Если точка M будет находиться на одной на областей — и \mathbb{Z}_{p} , то и выражениях (3.17) и (3.18) коэффициенты f^{μ}_{-} будут раяны нулю. Введем характеристические коор инаты

$$x = x - y, \quad y = x \quad y, \quad z = z \tag{3.26}$$

которые дают поэможность стательно легко решить уращей. (3.19) (3.23).

В жильней нем. для простоты записи, будем опускать черточку пад асременными и индексы "I" у функций, а известные и исизиестные функдии и уравнениях (3.19) — (3.23) будем обозначать теми же символами. Тогда уравнения (3.22) и (3.23) можно объединить и одно

$$\int \int_{-1}^{R} \frac{t^{(i)}}{(x-z)(y-z_i)} dz_i = F^{(i)}(z, y), \quad (i-1, 2; z=1, 3, 4)$$

которое является двумерным интегральным уравнением типа Абеля. В этом уравнении прован часть является непрерышной функции E[u] двумерале интегрировани f[u] до x и для любого n функции F[u] двумератное обращение такого уравнения дано и [1]. В нашем случае оно представляется в виде:

$$\int \frac{b_{i,n}^{(t)}(x_i)}{|y-y|} dx = \frac{1}{|x-\gamma(y)|} - \int \frac{\frac{\partial}{\partial \xi} F_{i,n}^{(t)}(\xi,y) d\xi}{|x-y|}$$

$$(3.28)$$

Уравнение (3.28) яплистся одномерным интегральным ураннением типа Абеля, второе слагаемо правов части которого явлиется непрерывной функцией и обращается а нуль при y = r(x), а первое слагаемое при этом же значения y имеет вытегрируемую особенность. Решение этого ураннения представим [8] в пиде

$$(x_1, y_1) = \frac{1}{\pi^2} \left\{ \frac{\partial}{\partial y} \int_{-\frac{\pi}{2}(y)}^{y} \frac{1}{|y - \eta|} + \dots + \frac{\partial}{\partial y} \int_{-\frac{\pi}{2}(y)}^{y} \frac{1}{|(x - \frac{\pi}{2})(y - \eta)|} \frac{\partial}{\partial z} + \dots + \frac{\partial}{\partial z} \right\}$$

$$(3.29)$$

Во втором слагаемом правой части выражения (3.29) выполним преренцирование по переменному и

$$\frac{\partial}{\partial y} \int_{\frac{1}{2}(x)}^{y} \int_{\frac{1}{2}(y)}^{z} \frac{1}{(x-z)(y-z)} \frac{\partial}{\partial z} F^{(i)}(z-z) dz dz = \int_{\frac{1}{2}(y-z)}^{y} \int_{\frac{1}{2}(y-z)}^{\frac{1}{2}(y-z)} \frac{\partial^{2z}}{\partial z} F^{(i)}(z-z) dz dz, \qquad (3.30)$$

Рассмотрим второе слагаемое. Как легко заметить, формула Лейбвида дифференцирования интегралов по параметру не применныя для него. Следуя Адамару [5], вместо второго слагаемого возымем его главное значение согласно следующему развиству:

$$\frac{\partial}{\partial y} \int_{\overline{\varphi(x)}}^{y} + \frac{F_{v_i,n}^{(i)} \left[\varphi(\tau_i), \tau_i\right]}{x - \overline{\varphi}(\tau_i) + y} - d\tau_i = \frac{1}{2} V.p. \int_{\overline{Y}}^{z} \frac{F^{(i)}_{n} \left[\overline{\varphi}(\tau_i), \tau_i\right]}{\overline{y - \tau_i}^{s} + x - \overline{\varphi}(\tau_i)}$$
(3.31)

где симнол 1. р. означает гланное зпачение интеграла, внеденное Адамаром. Способ пычисления правой части равенства (3.31) читатель может найти в кинге [5].

Решение уравнения (3.27) в окончательном виде выглядит так:

$$V_{-}(x, y) = \frac{1}{\pi^{2}} \left\{ -\frac{1}{2} V.p. \int_{\varphi(x)}^{y} \frac{F_{\gamma, n}^{(i)} \left[\bar{\varphi}(\eta), \eta \right] d\eta}{V y - \eta^{3} V x - \bar{\varphi}(\eta)} + \int_{\varphi(x)}^{y} \frac{1}{|x - y|} \frac{1}{|x - y|} \frac{1}{|x - y|} \int_{\varphi(x)}^{\eta^{4}} \frac{1}{|x - y|} \frac{1}{|x - y|} \frac{1}{|x - y|} \int_{\varphi(x)}^{\eta^{4}} \frac{1}{|x - y|} \left[\bar{\varphi}(\eta), \eta \right] d\eta}{(i - 1, 2; y - 1, 3, 4)} \right\}$$

$$(3.32)$$

Таким образом, получены пормальные производные потенциала нозмущенных скоростей в плоскости лу, выраженные формулой (3.32). Имея эти производные, по формулам (1.11) и (1.12) можно вычислить потенциал козмущенных скоростей в любой точке пространства.

Кированский филиал Еренанского политехнического института им. К. Маркса

Hactyman 2 VII 1970

Ո. Ա. ՄԵԺԼՈՒՄՅԱՆ, Ռ. Շ. ՍՈԼՈՄՈՒՅԱՆ

ԳԵՐՉԱՏԵՄԵՐԵ ՇԱՐԺՄԱՆ ԳԵՊՐՈՒՄ ՎԵՐՋԱՎՈՐ ԼԱՅ<mark>ՆՔ</mark> ՈՒՆԵՑՈՂ ԲԵՎԻ ՀԵՏԵՎՈՒՄ ՀՈՄԱՆՔԻ ՈՉ-ՍՏԱՑԻՈՆԱՐ ՇԵՎՄԱՆ ՈՐՈՇՄԱՆ ՄԵԹՈԳ

Հոդվա ում — մ է հայտալիս արժման դեպրոմ վերջավոր լայնք անեցող իեկ հետևում ոչ-ստացիոնար շեղման որոշման մի մեխոց, երբ իեր, բացի հիմնական համընքաց հարժումից, կտուսըում է — լրացուցիչ հարմոնիկ փորը ստոանումներ։

Հույթի չեզման ֆանդդիան Սաթախայի թժի առաիճանների <mark>նկատմամբ</mark> վերլածելով աստիճանային — ստացվամ են Աթելի տիպի կրկնակի ինտեղրալ շավասպամներ այդ վերլածության գործակիցների համար, որոնց աջ մասերը ինտեղըման մ ակալրերի ձուլյակետերում անեն հղակիաթյուն ներ։ Տրվում են այդ հավատարումների լուծման բանաձեհրը։

DETERMINATION TECHNIQUE FOR NONSTATIONARY SLANT OF FLOW BEHIND THE FINITE SWING WING AT A SUPERSONIC FLOW

R. A. MEJLOUMIAN, R. SH. SOLOMONIAN

Summary

The present paper suggests determination technique for nonstationary slant of flow behind the finite swing wing at a supersonic flow when the wing, besides the basic transitional motion, performs small additional oscillating motion according to the harmonic law. By expanding the flow slant to a power series according to the degrees of the Struchal number, two-dimensional Abel-type integral equations are derived for the expansion coefficients whose right-hand parts have certain peculiarities at the ends of the integrating intervals. Formulas for solving these equations are also given.

AHTEPATYPA

- Красилищикова Е. А. Крыло конечного размаха в синмаемом потоке. ГИТТА, М.- А., 1952.
- Белецерновение С. М. Представление нестационарных вародинамических сил и моментов при помощи комфриционгов вращительных производимя. Изм. АВ СССР, ОТН, № 7, 1956.
- 3. Белодерисления С. М. Пространственное пеустановнишееся движение несущен поверхности ГИМА, — XIX, вып. 4, 1955.
- Кисалин П. И. Коэффициенты пращательных производиых скосов, создаваемых и потоке крылом, при неустановившемся движении. Изв. АН. СССР. ОТН, Метышка и Машиностроение. № 4—1961.
- "Обідач теорин вэродинамини больших екоростей" из серии "Аэродинамино больших екоростей и реактивной техника". Перев. с. —— ИА, М., 1959.
- Lupin E. Crookshanks and Hunter H. F. Duwnwash behind a two-dimentional wing oscillating motion, IAS, 19, 267, 1952.
- 7. Downwash tables for the calculation of acrodynamic forces on oscillating wings.

 Report and Memoranda, No 2956, 1958
- 8. Гирса Э. Куре математического анализа. ОНГИ, т. Ш. ч. Ц. М. А., 1934.
- Современное состояние вародинамия больших сморостей. Пол сбщ. рсл А. Хоуарта, гом 1. ИА, М., 1955.
- Фурсов М. К. К расмету конформациянтов врощательных производных крымьев при сверханувовых скоростих. Изв. АН СССР. ОТН. Механика в Маниностроение., № 2, 1961.

P. M. BAPCETSH

НЕКОТОРЫЕ ЗАДАЧИ НЕРАВНОМЕРНОЙ ФИЛЬТРАЦИИ В МНОГОСЛОЙНЫХ ПЛАСТАХ

Ниже рассматриваются решения некоторы задач неравномерной установнишенся папри в подражения постоя по запри Дарси и слабоискривлениях иногослов из выста с у слав переменного перетока жидкости и подопосный горизонт черей слабопроницаемые перемычки, а также дается решение в чисто пом риой перавномерной фильтрации подном пласти, я списат в (11 в см. разриент рильтрации (К) которого являются прои польшение в дается решения устания функциями.

В работах [1, 2] рассы тран т. и приномерное движение жилкости и горизонтах, мощность которы, гзы илется по линейному закону, причем и работе [1] не учиты ется проинцаемость полошим и кроили нолопосного горизонта, в и [2] проиля принимается проинцаемой, но переток через нее считается пастоявным по длине исего пласта. В обонх работах козффициент фильтрации волоносного горизонта либо принимается постоянным, либо линейной функцией K(x) =

$$= K_1 - \frac{K_2 - K_1}{I} x_1$$

Пусть требустся и. н. н. н. р. h (x) водоносного горизонта трехслойного прямоугольно массива, лителогический разрез которого ноказан на фиг. Т. Верхний слой, где напор принимается постоянным (h h_0), разлези от рассматриваемого горизонта слабопроницаемой прослойной толщины $\tilde{T}(x)$ и с конфрициентом фильтрации K(x). Подошва водоносного горизонта считается водонепроницаемой.

Найдем уравнение, которому должен удовлетворять вапор h(x) в нижнем слос массина. Для этого состаним баланс фильтрационного расхода в бесконечно малок отсеке $1-1,\,2-2$ нижнего слоя массина. Соглаено закону Дарен удельный фильтрационный расход, поступнющий в рассматриваемый отсек через сечение 1-1, равен q

$$=-K(x) T(x) \frac{dh}{dx}$$
, the $K(x)$ is given by manipulating a $T(x)$ -mag-

ность водоносного гори битт. Удельныя фильтрационный расход, ныходящий через с чени 2-2 из резепатриваем до отсека, будет равен $q-dq-q-d\left[-K(x)\right]T(x)\frac{dh}{dx}$. Следовательно, дефицит количества

жидкости и рассматриваемом отсеке и сдиницу времени составит

$$\left| K'(x) T(x) \frac{dh}{dx} - K(x) T(x) \frac{dh}{dx} - K(x) T(x) \frac{dh}{dx} \right| dx$$

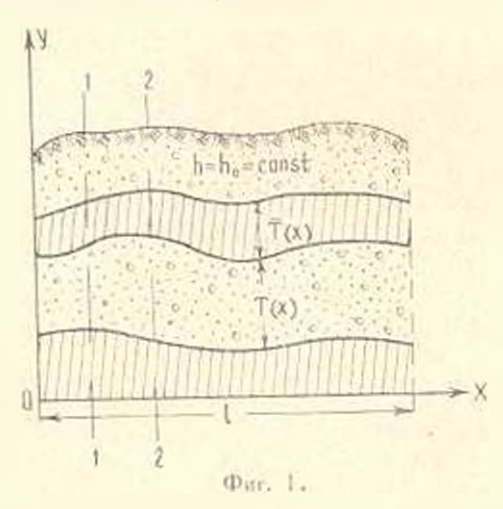
Этот дефицит ранен удельному фильтрационному расходу, поступающему через кроялю рассматриваемого отсека, равному

$$-K(x) \frac{d}{T(x)} dx$$

Отсюда получны следующее урашиение баланса удельного фильтрационного расхода в рассматриваемом отсеке:

$$K(x) T(x) \frac{d^2h}{dx^2} = \left[K(x) T(x)\right] \frac{dh}{dx} = \frac{K(x) (h - h)}{\overline{T}(x)} = 0 \tag{1}$$

Уравнение (1) является общим уравнением одномерной перавномерной рильтрации в трехслойной толще вышеуказанной структуры. При решении уравнения (1) звдаются граничные условия, которые могут быть трех видов (1-го, 2-го или 3-го родов).



Рассмотрим несколько случаев решения уравнения (1).

1. Пусть вертикальное сечение моссина имеет вид, показанный на фиг. 1. Если отсутстнует переток снизу и сверху в водоносный горизонт с мощностью T(x), то из (1) получим

$$\frac{d^2h}{dx^2} = \frac{\left[K(x) \ T(x)\right]}{T(x) \ K(x)} \frac{dh}{dx} = 0 \tag{2}$$

Общее решение уравнения (2) имеет вид

$$h(x) = C_1 \int \frac{dx}{K(x) Y(x)} = C_2$$
 (3)

где C_1 и C_2 — произвольные постоянные, определяемые граничными условиями. В частном случае, если K сопяt и $T(x) = t \left[1 + \frac{x}{t}\left(\gamma - 1\right)\right]$.

где $\frac{1}{2}$, а t_1 и — мощиости водоносного горизонта соответственно

5 Ивнестия АН АрмССР, Механика, № 6

в сечениях x=0 и x=l (случай расширяющегося пласта по направлению движения) (см. фиг. 2), то из (3) с учетом граничных условий $h|_{r=0}=h_1$ и $h|_{r=1}=h_2$ получим решение В. И. Данидовича [1]

$$h = h_1 - \frac{\lg \left\lfloor \frac{x}{l} \left(\frac{t_2}{t_1} - 1 \right) + 1 \right\rfloor}{\lg \frac{t_2}{t_1}} (h_1 - h_2)$$

Если же принять $K(x) = K_1 = \frac{K_1 - K_2}{2} x$, где $K_1 = K_2 = K_2$ корфициенты

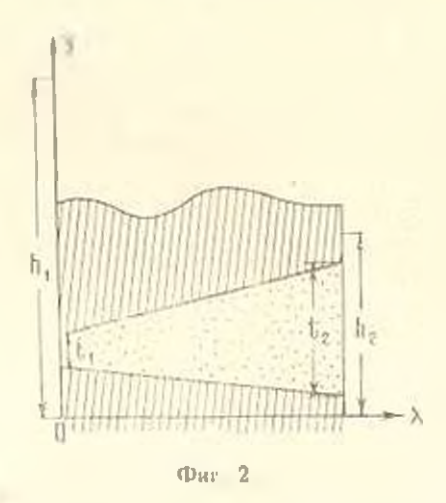
фильтрации водоносного горизонта в сечениях соответственно x=0 и x=l (фиг. 2), то из (3) с учетом условий h, h, и h, и h, получим решение h(x), совпадающее с решением соответственной задачи, рассмотренной в работе [1]:

$$h(x) = b_1 - \frac{\lg \frac{(z-1)\frac{x}{d} + 1}{(z-1)\frac{x}{l} + 1}}{\lg \frac{z}{d}} (b_1 - b_2)$$

1'де

$$\chi = \frac{K_2}{K_1}, \quad z = \frac{t_2}{t_1}$$

Как частный случай, из (3) аналогично можно получить решения работы [1] для случая сужинающегося пласта.



2. Принимая в последнем слагаемом уравнения (1) $h - h_0 = 0.00$ const. что обычно практикуется в приближенной гидравлической теории фильтрации, получим

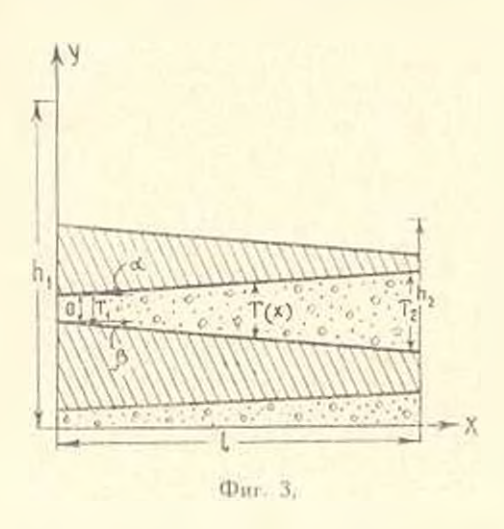
$$K(x) T(x) \frac{d^2h}{dx^2} + [K(x) T(x)]' \frac{dh}{dx} - \frac{K(x)}{T(x)} = 0$$
 (4)

Общим решением уравнения (4) янляется функция

$$h(x) = \int \frac{1}{K(x) T(x)} \left| C_1 - \frac{K(x)}{T(x)} \right| dx + C_2$$
 (5)

где C_1 и C_2 —постоянные, определяемые из граничных условий. В частном случае, если в (5) привять $\frac{K(x)}{\overline{T}(x)}=-1$, $T(x)=T_1-x$ (12 — 1 σ^2).

 $K(x) = K + \frac{K - K}{2} x$ (см. фиг. 3), получим решение задачи, сонпа-



3. Рассмотрим схему, приведенную на фиг. 4. Принимая $T(x)=T_0$, T , mx и T_0 , T>lm (где $m=\lg 3$), а K T и K постоянными, из уравнения (1) получим

$$(T_0 - \overline{T} - mx)\frac{d^2h}{dx^2} - m\frac{dh}{dx} - \frac{K(h - h_0)}{KT} = 0$$

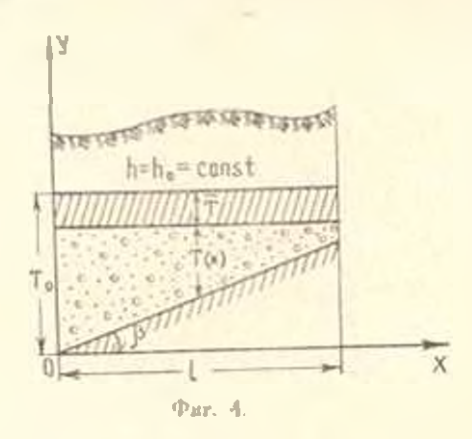
$$z\frac{d^2H}{dz^2} + \frac{dH}{dz} - H = 0 \tag{6}$$

где обозначены:

$$z = \frac{m}{T_0 - T} \quad x_{\tau} \quad H = h - h_0, \quad k = \frac{K}{KmT}$$

Общее решение ураниения (б) имеет инд

гле I_0 и K_0 — модифицированные функции Бесселя, а C_1 и C_2 — произвольные постоянные.



Если п (1) параметры K. T принять постоянными, $T=T_0$ T=mx, а K(x) K. $\longrightarrow x$, то получим

$$(K_1 - rx) (R - mx) \frac{d^3h}{dx} - [r(R - mx) - (K_1 + rx) m] \frac{dh}{dx} - K \frac{dx}{dx} = 0$$
 (7)

rae
$$r = \frac{K_s - K_1}{l}$$
, $R = T_o - \overline{T}$

Подстановкой $h = h_0 + H(1)$ и $x = x_1 + (x_1 - x_1)$ гле x_1 и x_2 кории уравнения

$$mrx^2 = (K_1m - Rr)x - K_1R = 0$$

уравнение (7) приводится к гипергерметрическому уравнению Гаусса:

$$\xi(\xi-dt)\frac{d^2H}{d\xi^2} + \left| 21 - \frac{rR - K_1m - 2rmx_1}{mr(x_1 - x_2)} \right| \frac{dH}{d\xi} - \frac{K}{mrT} (h - h_0) = 0$$

решение которого дается с помощью гипергоометрического ряда

$$h(\bar{z}) = h_0 + C_1 F(z, \bar{z}, \gamma, \bar{z}) + C_2 \bar{z}^{1-\bar{z}} F(\alpha - \gamma + 1, \beta - \gamma - 1, 2 - \gamma, \bar{z})$$

где

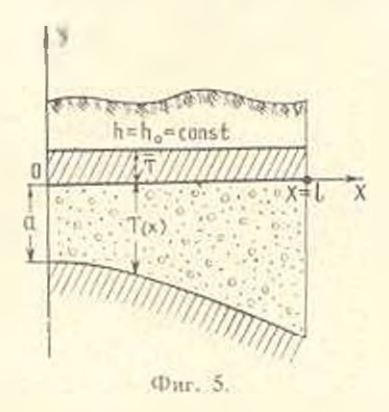
$$F(=3, \gamma, z) = 1 - \sum_{n=1}^{\infty} \frac{x(2-1)\cdots(2+n-1)\beta(3-1)\cdots(3+n-1)}{n!\beta(7-1)\cdots(7+n-1)} z^{n} = \frac{-2rmx_{1} + rR - K_{1}m}{mr(x_{1}-x_{1})}$$

а нараметры и и допределяются на системы раценсти

$$\alpha + \beta = 1$$
, $\alpha \beta = -\frac{K}{mrT}$

 C_1 и C_2 произвольные постоянные.

4. Пусть непронипаемая нижняя граница водоносного горизонта в вертикальном сечении, как это показано на фиг. 5, имеет уравнение $y = ae^{t}$, где a и b постоянные (a = 0, b = 0) и пусть коэффициенты



фильтрации слабопроницаемой прослойки (K) и нижнего водоносного горизонта (K) — постоянные величины. Тогда из уравнения (1) получим

$$\frac{d^{2}h}{dx^{2}} + b \frac{dh}{dx} - \frac{K}{ak\bar{T}} e^{-b_{1}} (h - h_{0}) = 0$$

HAH

$$\frac{d^2H}{dz^2} - \frac{dH}{dz} + iz^2H = 0$$
(8)

rge

$$H = h - h_0$$
, $h = -\frac{1}{aKTb^2}$, $z = -bx$ (1. > 0)

Общим решением уравнения (8) является функция

$$H(z) = H_1 \left[C_1 \left[\frac{e^{-2z}}{H^2} dz - C_1 \right] \right]$$

где $H_1=e^+J_1$ (2 I $=e^+$). $J_1=$ функция Бесселя первого рода первого порядка, C_1 и $C_2=$ произнольные постоянные.

Ереванский политехнический институт им. К. Моркев

Поступнав З VI 1970

HE PROPERTY.

ռացրածեր» Հոգոծեր»երուն անշավասարացած Ֆուջրացրածը ՄԻ Քանի ենդերեր

It of dear denied

Արտաժվում է հեղուկի միաչափ չարժման զիֆերենցիալ համատարաժը հումար, որտեղ հողատարաժը հումար, որտեղ հողատրաժը հումար, որտեղ հողատերունը հետ կապված են հիդրավլիկորեն։ Հիմնական ջրատար չերտի հղունը և ֆիլարացիայի գործակրը դետվում են որպես կամատական ֆունկցիաներ մեկ արդամենտից։ Տրվամ է ստացված հավատարման լուծումը մի քանի կարևոր և դործնականում հահախ հանդիպող դեպրերի համար, ինչպես նաև ընդվում է ինչդրի ընդհանար լուծումը, երբ հիմնական ջրատար չերաը վերից և վարից սահմանափակած է ջրամերժ չերտերով։

SOME PROBLEMS ON NONUNIFORM FILTRATION THROUGH MULTILAYER BEDS

R. M BARSEGHIAN

Summary

A differential equation is derived for one-dimensional fluid motion through rectangular three-layer mass of earth, the layers being related to one another hydraulically. The thickness and the filtration coefficient of the main water carrying layer are assumed to be arbitrary functions in one argument. The solution of the equation derived is given for some characteristic cases frequently observed in practice. A general solution of the problem is also suggested for the case where the main water carrying layer is confined between waterproof layers.

AUTEPATYPA

 Давидович В. Н. Некоторые вопросы перавномерного длижения подземных вод в артезнанских пулстах. Записки Асминградскоги Горного писти-ута, т XXIII, 1949.

2 Бирон В. А. Нераввомерное движение подземных вод в извети переменной мощности при изменяющемся значении коэффициента фильтрации идоль него. Вопросы впергетики, гидрогехники и горного дела. Изд. АН Узб. ССР. Тышкент, 1961.